# 球磨絕对最高粉碎产量装載因数的 推求及球磨在运用中力的关系\*

刘 先 志

# 一、引言

現有某厂急欲在增加基本建設費不大的条件下增加产量;經研究現厂全盘設备之后, 发現唯一的可能就是考虑提高其一系列的机器中的球磨的絕对生产量。如果可以提高球 磨的絕对生产量,則在其以后的,一連串的生产程序中,只要增添不多的非专門技术的劳 动工人就可以了。 若該球磨的健全程度允許增加装載量,可以說根本不需要开支基本建 設費用,就可以达到提高生产的目的。 此外,附带着也可以降低成本及提高劳动生产率。 因此,現实迫切要解决的問題有两个,即(1)該厂現在所使用的球磨的健全程度是否允許 再增加装載量;(2)現在該厂达到的球磨装載量是否已經就是該球磨的絕对最高产量的装 載量。

鑑于球磨在不少种类的重工业中是一个很基本与广泛使用着的一种大型机具,因此本人就趁这个机会,把它的运用性能作一个比較彻底的分析,把可用的結果或可当作一項补充参考材料。不过,因本人知識有限,时間短促,难免有錯誤或遺漏之处,恳請大家指正。

后面彙列的第一种資料曾涉及球磨运用的基本原理,而在其后的四种材料中,我們只能找到一些应用指标的数字,况且在这些指标数字中,各处尚甚不一致,确实令工厂的技术人員难以遵循。 在最后一种資料中,著者虽作过球磨使用原理的叙述,然而数量太少。因此,从得到的这六种資料中不但不能一蹴而就的对于本文的要求找出答案,并且資料确实相差的太多;曾渴望由苏联或是欧洲大陆的一些专門科学杂誌先找一遍,是否能找到近似的情况作为一种启示。結果,一点这样程度的資料也沒有找到、因此,只好在很缺乏科学研究程度的資料下,来接受这个任务作为一个小小的科学研究題目进行研究,而希望能得出可用的結論。

# 二、水平軸鼓室球磨运用的基本原理

我們可以理解,球麼这种机具(图 1)是一个繞水平軸旋轉的鼓室,在其中我們裝載上 拟进行麼碎的物料块与工作鋼球(或是鋼段与卵石). 在旋轉的鼓室中,鋼球發轉入一边 的鼓室壳壁携行达到一定高度点 A, 鋼球紧接着由此点脫离外壁飞行下落于点 B, 处与鼓

<sup>\* 1958</sup>年11月3日收到。

I

室的另一边的壳壁或物料碰撞。 在碰撞时,鋼球就把所碰到的物料进行一次击打。 这种

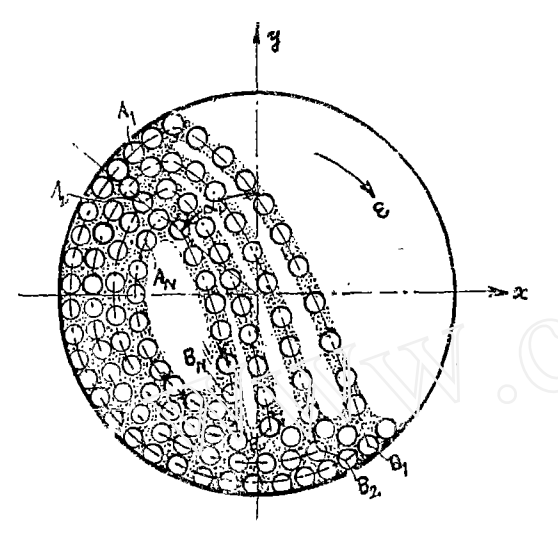


图1. 非磨工作原理

.d<sub>ν</sub>——脱离点; α<sub>ν</sub>——脱离角;

.B<sub>ν</sub>——落着点; α<sub>ν</sub>—— 數室的角速度
的 解答。

齿打連續重演,到一定时間,物料被粉碎到 所要求的程度。

球磨的工作原理是基于上面一段所叙述的情况,但在球磨的經济利用上及球磨的安全上,仍存在着一些具体的非肯定不可的問題,例如:

- (?) 已知鼓室直径。鼓室每分鉮应当 旋轉几周及应当装上多少物料与鋼球,方 使单位时間中的研磨产量达到最高額?
- (2) 鼓室两端軸头的安全尺寸如何核查?
- (3) 推动鼓室所需要的功率如何推 求?

本文的主要目的,就是要武一下,能否 把上列的几个非肯定不可的問題作出可用

三、鋼球的脫离点与落着点及在运动中的装載內半径四

在脫离点  $A_n$  (图 2) 处。重为  $G_R$  的鋼球的离心力  $\frac{G_K}{g} \left(\frac{\pi n}{30}\right)^2 R_n$  与鋼球重力的径向分量  $G_K \cos \alpha_n$  維持平衡的公式是

$$\frac{G_K}{g} \left(\frac{\pi n}{30}\right)^2 R_v = G_K \cos a_v \tag{1}$$

Уu

$$a_{\nu} = \cos^{-1} \frac{v_{0\nu}^2}{gR_{\nu}} \equiv \cos^{-1} \frac{\omega^2 R_{\nu}}{g},$$
 (2)

其中  $\alpha_v =$  脱离点  $A_v$  的向径与通过鼓室中心鉛垂緩所成之角, 簡称脫离角;

 $R_{\nu} = R_0 - (2\nu - 1) r_0 =$  有关层的鋼球球心的运行圓周华径,其中次第指数  $\nu = 1 \times 2 = N$ ,而 N 为共有的鋼球层数;

 $R_0 =$  鼓室內圓周半径;

g = 地心对单位质量的引力;

ro = 鋼球的半径;

 $\omega = \frac{\pi n}{30} =$ 鼓室旋轉的角速度:

n = 鼓室每分钟的轉数;

viv = 鋼球在有关脱离点 A, 处的切向速度,

公式(2)显示,脱离角  $\alpha_{\nu}$ 是鼓室角速度  $\omega$  与鋼球运行圆周半径  $R_{\nu}$  的函数, 意即: 为已知的 $\omega$  与  $R_{\nu}$ , 各层的鋼球自被公式(1)所确定的点  $A_{\nu}$  用切向速度  $a_{\nu}$  股离鼓室壳壁(或物

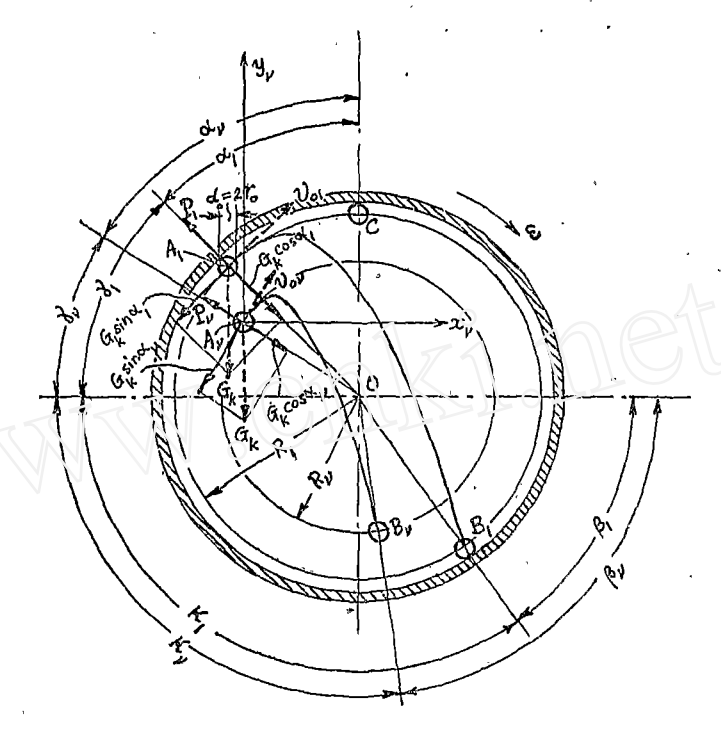


图 2. 鋼球在鼓室中的运动帆跡

料)的內表面,而沿拋物綫  $A_{\nu}B_{\nu}$  飞行下落。 若以通过脱离点  $A_{\nu}$  的坐标系  $vA_{\nu}v$  作为参照 坐标系,则这些抛物綫的方程是

$$y = x \tan \alpha_v - \frac{g}{2v_{(v)}^2 \cos^2 \alpha_v} x^2. \tag{3}$$

此外,不难推得,依照通过点 An 的坐标系 xAny,各层鋼球軌道同心圓的方程是

$$x^{2} - 2R_{\nu}x \sin \alpha_{\nu} + y^{2} + 2R_{\nu}y \cos \alpha_{\nu} = 0.$$
 (4)

再用鋼球于脫离点处在向径方向的平衡条件(2),可将抛物綫(3)化为

$$2R_{\nu}y\cos\alpha_{\nu} = 2R_{\nu}x\sin\alpha_{\nu} - \frac{x^2}{\cos^2\alpha_{\nu}}.$$
 (5)

把公式(4)与(5)联合, 即得

$$x^2 - \frac{x^2}{\cos^2 \alpha_0} + y^2 = 0 ag{6}$$

或

$$y = \pm x \tan \alpha_{\nu}. \tag{6a}$$

将(6a)代入(4)則得,

$$\left(\frac{x}{\cos^2 \alpha_{\nu}} - 4R_{\nu} \sin \alpha_{\nu}\right) x = 0 \tag{7}$$

奿

$$x_{B\nu} = 4R_{\nu} \sin \alpha_{\nu} \cos^2 \alpha_{\nu}, \quad x_{A\nu} = 0. \tag{8}$$

上二式的第一式代表落着点  $B_n$  至脱离点  $A_n$  的横坐标距,第二式代表脱离点  $A_n$  本身地点

的横坐标距。再用公式(6a)自(4)把x消除,則有

$$y\left(\frac{y}{\sin^2\alpha_v} + 4R_v\cos\alpha_v\right) = 0 \tag{9}$$

或

$$y_{B\nu} = -4R_{\nu}\sin^2\alpha_{\nu}\cos\alpha_{\nu}, \quad y_{A\nu} = 0, \tag{10}$$

其中第一式代表落着点  $B_n$  至脱离点  $A_n$  的級坐标距,第二式代表脱离点  $A_n$  本身至本身地点的級坐标距。

利用几何关系, 又可得

$$x_{B\nu} = R_{\nu} \sin \alpha_{\nu} + R_{\nu} \cos \beta_{\nu} = 4R_{\nu} \sin \alpha_{\nu} \cos^2 \alpha_{\nu},$$

$$y_{B\nu} = -\left(R_{\nu} \cos \alpha_{\nu} + R_{\nu} \sin \beta_{\nu}\right) = -4R_{\nu} \sin^2 \alpha_{\nu} \cos \alpha_{\nu}.$$
(11)

EX

$$\cos \beta_{\nu} = (4 \cos^2 \alpha_{\nu} - 1) \sin \alpha_{\nu}, \quad \sin \beta_{\nu} = (4 \sin^2 \alpha_{\nu} - 1) \cos \alpha_{\nu}, \tag{11a}$$

其中β、代表各层綱球的落着角、因此,从易于証明的关系

$$(4\cos^{2}\alpha_{\nu}-1)\sin\alpha_{\nu} \equiv \cos\left(3\alpha_{\nu}-\frac{\pi}{2}\right)$$

$$(+\sin^{2}\alpha_{\nu}-1)\cos\alpha_{\nu} \equiv \sin\left(3\alpha_{\nu}-\frac{\pi}{2}\right)$$
(12)

可导出重要的关系

$$\beta_v = 3a_v - \frac{\pi}{2},\tag{13}$$

自上式与几何关系更可得到

$$\pi - K_{\nu} = 3\left(\frac{\pi}{2} - \gamma_{\nu}\right) - \frac{\pi}{2} \quad \text{if} \quad K_{\nu} = 3\gamma_{\nu}. \tag{14}$$

在球磨中,为不同的鋼球层亦即在不同的半径 R。上,均存在着鋼球脫离点 A。的几何。

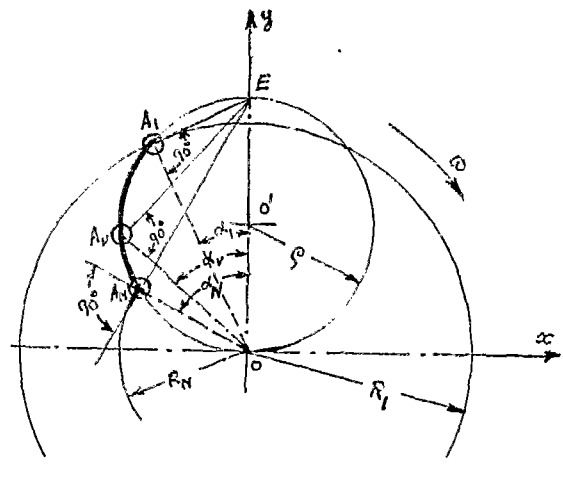


图 3. 各层翻球脱离点的几何位置

位置。 依照以前曾一度用过的情势, 把鋼球的离心力与在脱离点处鋼球重 量的径向分量互等起来,就会得到脱 离角α。与半径 R。的重要关系:

$$\frac{R_{\nu}}{\cos \alpha_{\nu}} = \frac{g}{\omega^2}.$$
 (15)

上式說明,为任何层的鋼球,数值  $\frac{R_v}{\cos a_v}$  是一个恆数。換言之,当  $R_v$  变小,則  $a_v$  变大。但是数值  $\frac{R_v}{\cos a_v}$  代表 具有  $R_v$  作为一股, $a_v$  为此股与弦問之 角的直角三角形的弦 OE (图 3)。 因此,所有的层的鋼球脱离点是位于具

有半径

$$\rho = \frac{R}{2\cos\alpha} = \frac{R_{\nu}}{2\cos\alpha} \tag{16}$$

的圓周上。这个圓圈的圓心是位于鼓室中的豎立半径的点 O'上。 利用公式(2)与(15),可将公式(13)与(14)化为

$$\beta_{\nu} = 3 \cos^{-1} \frac{\omega^2 R_{\nu}}{g} - \frac{\pi}{2}, \tag{17}$$

$$K_{\nu} = \frac{3\pi}{2} - 3\cos^{-1}\frac{\omega^2 R_{\nu}}{g}.$$
 (18)

若視上二式是鋼球层圓圈半径 R。的函数,則用上二式所繪成的曲綫 B.B.O (图 4) 即代表各层鋼球落着点的几何位置.这条曲綫在鼓室的中心的地方切遇鼓室的水平方向的直径,

因为依照公式(2),当  $R_v = 0$  当,我們得出  $\cos \alpha_v = 0$ ,意即  $\alpha_v = 90^\circ$ 、但依据公式(13),则  $\beta_{R_v=0} = 3\alpha_{R_v=0} - \frac{\pi}{2} = 180^\circ$ ; 这样就证实了在点 O 附近曲綫  $OB_NB_1$  的性质.

上面的論証并不意味着,在鋼球下落时,鋼球就会一定停留在曲綫  $B_1B_NO$ 的各点上。例如,有美层的鋼球不会落到一段曲綫  $B_NO$  的相应点上就停止前进,它們一定継續下落直至碰到物料为止。因此,上面的分析的用意是要弄清楚,是否不同层的鋼球在下落中会发生

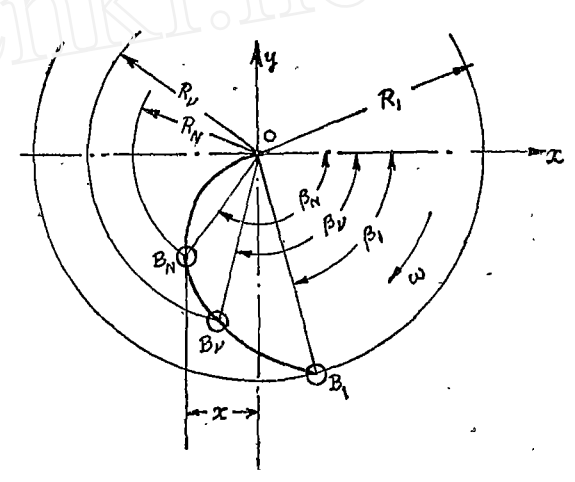


图 4. 各层鋼球落着点的几何位置

碰撞。 上面已經足够清楚,經过曲綫段  $B_NO$  的鋼球一定也会再經过曲綫段  $B_1B_N$  的某些点。 可是两綫段  $B_NO$  与  $B_1B_N$  是属于不同层的鋼球,因此若不将鋼球的层数加以限制,不同层的鋼球会在下落中发生碰撞,結果有損于粉碎工作。 因此,装載物的最小半径  $R_N$  的选择必須使最內层的鋼球尚能自由下落,而不与其他各层的鋼球在下落中互相碰撞。 为要达到这个要求,装料的各层(具有半径自  $R_1+r_0$  至  $R_N-r_0$ )的鋼球的落下点应当取落着点曲綫的  $B_1B_N$  段,而不可使用点  $B_N$  以上的  $B_NO$  一段。 換句話說,就是要使最內层鋼球的落着点是在点  $B_N$ ,意即:若系依照通过原点 O 的坐标系,我們須使其橫坐标距有最大数值。 若以脫离点为原点,則依照公式(8),落着点的橫坐标距是  $x_{B_N} = 4R_N$  sin  $\alpha_N$  cos²  $\alpha_N$  。 若依照通过鼓室中心的坐标系,则这个横坐标距应写为,

$$x'_{B_{\nu}} = x_{B_{\nu}} - R_{\nu} \sin \alpha_{\nu} = 4R_{\nu} \sin \alpha_{\nu} \cos^{2} \alpha_{\nu} - R_{\nu} \sin \alpha_{\nu} =$$

$$= \frac{g}{\left(\frac{\pi n}{30}\right)^{2}} (4 \sin \alpha_{\nu} \cos^{3} \alpha_{\nu} - \sin \alpha_{\nu} \cos \alpha_{\nu}).$$
(19)

使一次微分导数

$$\frac{dx'_{B_{\nu}}}{d\alpha_{\nu}} = \frac{g}{\left(\frac{\pi n}{30}\right)^2} \left(4\cos^4\alpha_{\nu} - 12\sin^2\alpha_{\nu}\cos^2\alpha_{\nu} - \cos^2\alpha_{\nu} + \sin^2\alpha_{\nu}\right)$$

等于零,則得

$$16\cos^4\alpha_{\nu} - 14\cos^2\alpha_{\nu} + 1 = 0 \tag{20}$$

或

$$\alpha_N = \cos^{-1} \left( \frac{\sqrt{7 - \sqrt{33}}}{4} \right) \approx 73^{\circ} 50'.$$
 (21)

因此,点  $B_N$  是相应于具有角度  $\alpha_N = 73^\circ 50'$  的脱离点的落着点;因而,装料在运动状态中的內华径应为

$$R_N \ge \left(\frac{30}{\pi n}\right)^2 g \cos \alpha_N = \left(\frac{30}{2\pi n}\right)^2 g \sqrt{7 - \sqrt{33}},\tag{22}$$

依据上面得出的結果。可以結論:位于半径  $R < R_N$  的圆周上的鋼球,在下落中会与其相 勝料层下落的鋼球互相碰撞。此外,自然应保証使

$$R_1 - R_N \ge (N - 1)2r_0$$
 或  $N \le 1 + \frac{R_1 - R_N}{2r_0}$ , (23)

其中N代表在运动状态中鋼球排列成的层数。 在使用球磨时,应当切实保証遵循上面这些条件。

# 四、相应于絕对最高研磨产量, 鼓室的轉数四

对一个已知的装載层,鋼球作工的最有利条件是,它应当有其最高的下落距离;此距 离应自抛物綫的最高頂点算起至落着点为止。 在这样的条件下,当鋼球与鼓室壳壁的内 表面或物料碰撞的瞬时,鋼球一定乘有最大的动能而完成最大的粉碎功量。

很显然,鋼球自脫离点至抛物綫的頂点所升的高度是  $\frac{v_w^2 \sin^2 \alpha_v}{2g}$ ; 再根据公式(10),自脫离点至落着点的高度差是  $4R_v \sin^2 \alpha_v \cos \alpha_v$ . 因此,自拋物綫的頂点算起鋼球的总落下高度必为

$$H_{\nu} = \frac{v_{0\nu}^2 \sin^2 \alpha_{\nu}}{2g} + 4R_{\nu} \sin^2 \alpha_{\nu} \cos \alpha_{\nu}, \qquad (24)$$

若将关系

$$v_{0\nu} = \frac{\pi n}{30} R_{\nu}, \quad n = \frac{30}{\pi} \sqrt{\frac{g \cos \alpha_{\nu}}{R_{\nu}}}$$
 (25)

代入公式(24),則得总落下高度

$$H_{\nu} = \frac{9}{2} R_{\nu} \sin^2 \alpha_{\nu} \cos \alpha_{\nu}. \tag{26}$$

者使  $\frac{dH_{\nu}}{d\alpha_{\nu}} = \frac{9}{2} R_{\nu} (2 \sin \alpha_{\nu} \cos^2 \alpha_{\nu} - \sin^3 \alpha_{\nu})$  等于零,就得出鋼球下落有最大距离应当相应于一个脫离角

$$\alpha_{\nu} = \cos^{-1} \frac{1}{\sqrt{3}}.$$

然依照公式 $(2)\alpha_v = \cos^{-1}\left(\frac{\pi n}{30}\right)^2 \frac{R_v}{g}$ 的关系,每层鋼球須有其各层所屆之脫离角,意即:我

們不可能在运动中使一切层的鋼球得到共同的脫离角  $\alpha_{\nu} = \cos^{-1} \frac{1}{\sqrt{2}}$ . 因此,我們只好照 顾有最高下落距离的最外层鋼球,而使

$$\alpha_{\rm opt} = \alpha_1 = \cos^{-1} \frac{1}{\sqrt{3}} = \sin^{-1} \sqrt{\frac{2}{3}} \approx 54^{\circ}40'.$$
 (27)

这样,最外层鋼球的最高下落距离是

1期

$$H_{\text{Imax}} = \sqrt{3} R_{1}. \tag{28}$$

当洗取鼓室每分钟的轉数时,应当这样注意, 考使鼓室的轉数比絕对最大产量应有的 轉数稍微小些,就会降低产量;但若使轉数比最大产量轉数稍微提高一点,就会使各落下 点向上推移(意即,使脱离角缩小), 也就縮減了鋼球的总落下高度, 而也就降低了产量, 若再使轉数大大的提高,就会产生这样大的离心力,以致使鋼球紧压在鼓室壳壁的內表面 上,全然不再落下, 这样, 鼓室的粉碎产量就会等于零。

相应于点  $C(\mathbb{Z}_2)$ 上的离心力正等于鋼球的重量的鼓室轉数称为临界轉数。很显然, 在这种情况下,有关系

$$\frac{G_K}{g} \left( \frac{\pi n}{30} \right) R_1 = G_K, \tag{29}$$

自其中得出临界轉数

$$n_{\rm cr} = \frac{30}{\pi} \sqrt{\frac{g}{R_1}},\tag{30}$$

其中  $R_1$  为最外层鋼球的旋轉半径。鋼球鼓室的生产操作轉数应小于其临界轉数。 为确定球磨的絕对最高产量,我們需要使最外层的鋼球得到最有利的工作条件(用脫 离角 α<sub>1</sub> = 54°40′)。 該层有最大数目的鋼球,并且一定在既定的情况中有决定性的作用。

自关系(24)易于看出,絕对最大产量的轉数是

$$n_{\rm opt} = \frac{30}{\pi \sqrt[4]{3}} \sqrt{\frac{g}{R_1}}.$$
 (31)

此外,对絕对最高产量的情况,根据公式(22),我們得出鋼球最內层的半径

$$R_{Nopt} \equiv R_N = \frac{\sqrt{21 - 3\sqrt{33}}}{4} R_1 \approx 0.482 R_1,$$
 (32)

而根据公式(16),在运动中装載鋼球上界綫的圓周半径是

$$\rho_{\rm opt} = \frac{\sqrt{3}}{2} R_1 \approx 0.866 R_1, \tag{33}$$

此刻,若将关系

$$\cos \alpha_{\text{opt}} = \frac{1}{\sqrt{3}}, \quad y = R_1 \cos \alpha_{\text{opt}},$$

$$\nu_{01} \equiv \nu_{\text{opt}} = R_1 \frac{\pi n_{\text{opt}}}{30}, \quad n_{\text{opt}} = \frac{30}{\pi} \sqrt{\frac{g \cos \alpha_{\text{opt}}}{R_1}}$$
(34)

代入抛物綫公式(3),則得

$$x^2 - \frac{2}{3}\sqrt{\frac{2}{3}}R_1x - \frac{2}{9}R_1^2 = 0; (35)$$

及其二根是

$$x = \left(\frac{1}{3}\sqrt{\frac{2}{3}} \pm \frac{2}{3}\sqrt{\frac{2}{3}}\right)R_1. \tag{36}$$

因为根据这里的情势, \* 不可能有負值, 所以得

$$(y = -R_1 \cos \alpha_{\text{opt}}), \quad x = \sqrt{\frac{2}{3}} R_1 \approx R_1 \sin \alpha_{\text{opt}}. \tag{37}$$

根据上式可作重要結論: 为絕对最高产量的球磨操作,最外层鋼球的抛物綫正通过鼓室的中心。这个規律使我們很容易迅速的把最外层鋼球的抛物綫繪于正确的位置。

# 五、各层鋼球的拋物綫长度

因为以后的研究需要各层鋼球的抛物綫长度,因此在本节中,我們特地預先将各层鋼

球在鼓室内的抛物系长度方程推求出来,

图 5. 各层網球的拋物鏈长度核算

为便干推算, 把抛物綫的最高点(图 5) 当作 此处坚标系的原点, 这样可用諸关系

$$x_v = v_{0v} \cos \alpha_v \cdot t, \quad y_v = \frac{1}{2} gt^2$$
$$v_{0v}^2 = gR_v \cos \alpha_v$$

得出相应于通过抛物綫最高点的坐标系的抛物綫 方程

$$x_{\nu}^{2} = \frac{2v_{0\nu}^{2}\cos^{2}\alpha_{\nu}}{g}y_{\nu} \equiv 2R_{\nu}\cos^{3}\alpha_{\nu} \cdot y_{\nu}. \quad (38)$$

因此,抛物綫的长度应为

$$S_{Pv} = \int_{x_{1v}}^{x_{2v}} \sqrt{1 + \left(\frac{dy}{dx}\right)_{v}^{2}} dx_{v}$$
$$\left(12\left(\frac{dy}{dx}\right)_{v} = \frac{x_{v}}{R_{v}\cos^{3}\alpha_{v}}\right).$$

用易于証明的上下积分界限

$$x_{1\nu} = x_{A\nu} = -R_{\nu} \sin \alpha_{\nu} \cos^{2} \alpha_{\nu}, x_{2\nu} = x_{R\nu} = 3R_{\nu} \sin \alpha_{\nu} \cos^{2} \alpha_{\nu},$$
 (39)

則算得各抛物綫的长度

$$S_{P\nu} = \left(\frac{x_{\nu}\sqrt{x_{\nu}^{2} + R_{\nu}^{2}\cos^{6}\alpha_{\nu}}}{2R_{\nu}\cos^{3}\alpha_{\nu}} + \frac{R_{\nu}\cos^{3}\alpha_{\nu}}{2}\log_{e}\frac{x_{\nu} + \sqrt{x_{\nu}^{2} + R_{\nu}^{2}\cos^{6}\alpha_{\nu}}}{R_{\nu}\cos^{3}\alpha_{\nu}}\right)_{x_{1\nu}}^{x_{2\nu}}.$$
 (40)

将界限代入,則得

$$S_{P\nu} = \frac{R_{\nu} \sin \alpha_{\nu} \cos^{2} \alpha_{\nu} \sqrt{R_{\nu}^{2} \sin^{2} \alpha_{\nu} \cos^{4} \alpha_{\nu} + R_{\nu}^{2} \cos^{6} \alpha_{\nu}}}{2R_{\nu} \cos^{3} \alpha_{\nu}} + \frac{3R_{\nu} \sin \alpha_{\nu} \cos^{2} \alpha_{\nu} \sqrt{9R_{\nu}^{2} \sin^{2} \alpha_{\nu} \cos^{4} \alpha_{\nu} + R_{\nu}^{2} \cos^{6} \alpha_{\nu}}}{2R_{\nu} \cos^{3} \alpha_{\nu}} + \frac{R_{\nu} \cos^{3} \alpha_{\nu}}{2} \log_{\sigma} \frac{R_{\nu} \sin \alpha_{\nu} \cos^{2} \alpha_{\nu} + \sqrt{R_{\nu}^{2} \sin^{2} \alpha_{\nu} \cos^{4} \alpha_{\nu} + R_{\nu}^{2} \cos^{6} \alpha_{\nu}}}{R_{\nu} \cos^{3} \alpha_{\nu}} + \frac{R_{\nu} \cos^{3} \alpha_{\nu}}{2} \log_{\sigma} \frac{3R_{\nu} \sin \alpha_{\nu} \cos^{2} \alpha_{\nu} + \sqrt{R_{\nu}^{2} \sin^{2} \alpha_{\nu} \cos^{4} \alpha_{\nu} + R_{\nu}^{2} \cos^{6} \alpha_{\nu}}}{R_{\nu} \cos^{3} \alpha_{\nu}};$$

将上式化简后,则得出

$$S_{P\nu} = \frac{1}{2} \left( \sin \alpha_{\nu} \cos \alpha_{\nu} (1 + 3\sqrt{1 + 8\sin^2 \alpha_{\nu}}) + \cos^3 \alpha_{\nu} \log_{\sigma} \frac{3\sin \alpha_{\nu} + \sqrt{1 + 8\sin^2 \alpha_{\nu}}}{1 - \sin \alpha_{\nu}} \right) R_{\nu}. \tag{41}$$

自然也可用关系

$$\alpha_{\nu} = \cos^{-1} \left(\frac{\pi n}{30}\right)^2 \frac{R_{\nu}}{g} = \sin^{-1} \sqrt{1 - \left(\frac{\pi n}{30}\right)^4 \left(\frac{R_{\nu}}{g}\right)^2}$$

把公式(41)化成 n 与 R, 的函数。

# 六、絕对最高粉碎产量装載因数

在运用鋼球鼓式研磨时,应当装載多少才能达到絕对最高粉碎产量,这是一个极重要并且必須先解决的問題。装載混合物的体积与鼓室空間体积之比在本文中被称为装載因数(有些資料中称它为填充因数)。在本文最后所引証的資料中,装載因数极不一致,例如在其中可查到,为鋼球:装載因数  $\varphi=0.25-0.33$ ,为小鋼段則  $\varphi=0.25-0.3$ ,为小圓石  $\varphi=0.3-0.4$ ;同时又可查到: $\Pi$ . D. 雷凡松教授作了研究,当  $\varphi=0.4$  时,对最外层球体操作最有利。可惜此刻不能获得雷凡松教授研究这个問題的論文。根据上面这些不一致的数字,就无从决定到底应当装载多少才算使粉碎工作最为有利。因此追使本人必須重新試驗再分析这个問題,希望由此导得一个可靠的、准确的数学式子可以預先确定絕对最高产量的装载因数。

为推求絕对最高粉碎产量因数,我們应当理解,在鼓室的定常操作下,在任何瞬时观察,总有一部分鋼球与物料借助于离心力、重力以及摩擦力与鼓壳壁不形成相对的位移,而全部装越量的其余部分則各沿其所属抛物綫用不同的密度分布着。 自然,根据物体在重力場中下落的規律,离脱离点愈远則鋼球布占的密度愈形疏松。此外,最內层鋼球的抛物綫与相对稳定的一部分鋼球物料混合体之間,一定存在着一个一定大小的空隙。

現在試审查每层相鄰各鋼球相継进入拋物綫及其沿拋物綫飞进所用的时間間隔的关系。 設鼓室旋轉一週所用的时間是

$$t = \frac{60}{n} \not \gg \left( n = \frac{30}{\pi} \sqrt{\frac{g \cos \alpha_{\nu}}{R_{\nu}}} \right).$$

設(图 6)第一个鋼球是正在抛物綫的起点,因此紧隣后来的一个鋼球步入抛物綫的时間要比第一个鋼球晚

$$\Delta t_{\nu} = \frac{\Delta S_{P\nu}}{2\pi R_{\nu}} t \equiv \frac{R_{\nu} \Delta \alpha}{2\pi R_{\nu}} \frac{60}{n} \equiv \frac{2r_0}{2\pi R_{\nu}} \frac{60}{n} = \frac{2r_0}{\sqrt{gR_{\nu}\cos\alpha_{\nu}}} \not D. \tag{42}$$

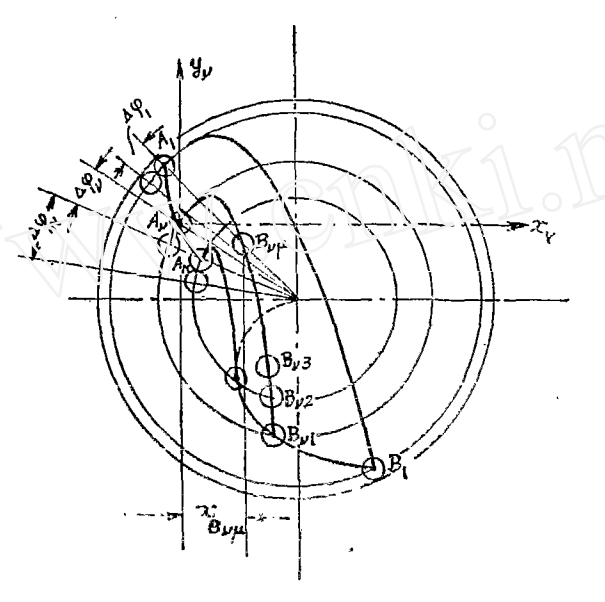


图 6. 鋼球体佔其拋物綫的情况

自关系  $x_0 = v_{00} \cos \alpha_0 \cdot t$  可以証明,第一个鋼球(也就是任何鋼球)飞完抛物綫所用的时間是

$$\iota_{t_{\Psi_1}} = \frac{x_v}{v_{0v}\cos\alpha_v} = \frac{4R_v\sin\alpha_v\cos^2\alpha_v}{v_{0v}\cos\alpha_v} = 4\sin\alpha_v\sqrt{\frac{R_v\cos\alpha_v}{g}}.$$
 (43)

$$t_{B_{\Psi_{2}}} = t_{B_{\Psi_{1}}} - \Delta t_{\nu},$$

$$t_{E_{\Psi_{3}}} = t_{B_{\Psi_{1}}} - 2\Delta t_{\nu},$$

$$t_{B_{\Psi_{\mu}}} = t_{B_{\Psi_{1}}} - (\mu - 1)\Delta t_{\nu}.$$
(44)

用以前的有关关系就可得到

$$t_{B_{\nu\mu}} = 4\sin\alpha_{\nu}\sqrt{\frac{R_{\nu}\cos\alpha_{\nu}}{g}} - (\mu - 1)\frac{2r_{0}}{\sqrt{gR_{\nu}\cos\alpha_{\nu}}}.$$

以及第有关个鋼球自起点所达到的橫坐标距

$$x_{B_{\nu\mu}} = \sqrt{gR_{\nu}\cos\alpha_{\nu}} \cdot \cos\alpha_{\nu} \left(4\sin\alpha_{\nu}\sqrt{\frac{R_{\nu}\cos\alpha_{\nu}}{g}} - (\mu - 1)\frac{2r_{0}}{\sqrt{gR_{\nu}\cos\alpha_{\nu}}}\right),$$

更可简化为

$$x_{B_{\nu\mu}} = 4R_{\nu} \sin \alpha_{\nu} \cos^{2} \alpha_{\nu} - (\mu - 1) 2r_{0} \cos \alpha_{\nu}. \tag{45}$$

因此,自关系

$$4R_{\nu}\sin\alpha_{\nu}\cos^{2}\alpha_{\nu}-(\mu-1)2r_{0}\cos\alpha_{\nu}\geq0$$

可以得出在抛物綫上在任何瞬时飞布着鋼球的数目 # 的条件方程

$$\mu \le \frac{2R_{\nu} \sin \alpha_{\nu} \cos \alpha_{\nu}}{r_{0}} + 1 = \frac{R_{\nu} \sin 2\alpha_{\nu}}{r_{0}} + 1. \tag{46}$$

再設  $S_{\rho\nu}$  代表有关抛物綫的长度, $\overline{S}_{\rho\nu}$  代表因沿抛物綫有布占疎松的变化所引起的空隙,因而必有

$$\bar{S}_{\rho\nu} = S_{\rho\nu} - (\mu - 1)2r_0 = S_{\rho\nu} - 4R_{\nu} \sin \alpha_{\nu} \cos \alpha_{\nu}. \tag{47}$$

因此,在所有的抛物綫上,沿抛物綫的疏松影响所引起的总容隙面积是

$$2r_0 \sum_{\nu=1}^{N} \bar{S}_{\nu\nu} = 2r_0 \sum_{\nu=1}^{N} (S_{\rho\nu} - 4R_{\nu} \sin \alpha_{\nu} \cos \alpha_{\nu}). \tag{48}$$

此处应补充提及, $\mu$ 的条件方程也可用下列另一种思考路綫更簡便的得到。 鋼球在抛物 綫上的总飞行时間  $t_{B_{\nu_1}}$  被两相隣鋼球的时間差  $\Delta t_{\nu}$  除,即等于每个瞬时全抛物綫 被  $\mu$  个 鋼球所分成的段数  $\mu$  一 1,意即

$$\frac{t_{B_{\nu_1}}}{\Delta t_{\nu}} \ge (\mu - 1) \quad \text{if} \quad \mu \le \frac{t_{B_{\nu_1}}}{\Delta t_{\nu}} - 1.$$

再引用上面 t<sub>B</sub>,,与 Δt<sub>n</sub> 的关系,就可把上式化为与公式(46)完全符合的式子

$$\mu \leq \frac{4 \sin \alpha_{\nu} \sqrt{\frac{R_{\nu} \cos \alpha_{\nu}}{g}}}{\frac{2r_{0}}{\sqrt{gR_{\nu} \cos \alpha_{\nu}}}} + 1 \equiv \frac{2R_{\nu} \sin \alpha_{\nu} \cos \alpha_{\nu}}{r_{0}} + 1.$$

自各层路綫的总长所占的面积和扣除空隙总面积后,再被鼓室内横断面积除,即得絕对最高产量装載因数

$$\lambda = \frac{2r_0 \sum_{\nu=1}^{N} \left\{ \left( \frac{3\pi}{2} - \alpha_{\nu} - \beta_{\nu} \right) R_{\nu} + S_{\rho\nu} \right\} - 2r_0 \sum_{\nu=1}^{N} \overline{S}_{\rho\nu}}{\pi R_0^2}.$$

用公式(48)将上式簡化后,則得相当簡便的关系

$$\lambda = \lambda_{sv} + \lambda_{\rho v} = \frac{4r_0}{\pi R_0^2} \sum_{\nu=1}^{N} R_{\nu} (\pi - 2\alpha_{\nu} + 2\sin\alpha_{\nu}\cos\alpha_{\nu}). \tag{49}$$

$$\lambda = \frac{2r_0 \sum_{\nu=1}^{N} R_{\nu} \left( \frac{3\pi}{2} - \alpha_{\nu} - \beta_{\nu} \right) + \sum_{\nu=1}^{N} (\mu - 1) 2r_0 \cdot 2r_0}{\pi R_0^2} = \frac{4r_0}{\pi R_0^2} \sum_{\nu=1}^{N} R_{\nu} (\pi - 2\alpha_{\nu} + \sin 2\alpha_{\nu}).$$

若再将关系

$$\alpha_{\nu} = \cos^{-1} \left( \frac{\pi}{30\sqrt{g}} \right)^{2} n^{2} R_{\nu} = \sin^{-1} \sqrt{1 - \left( \frac{\pi}{30\sqrt{g}} \right)^{4} n^{4} R_{\nu}^{2}}$$

代入公式(49),則得

$$\lambda = \frac{4r_0}{\pi R_0^2} \sum_{\nu=1}^{N} R_{\nu} \left\{ \pi - 2\cos^{-1} \left( \frac{\pi n}{30} \sqrt{\frac{R_{\nu}}{g}} \right)^2 + 2 \left( \frac{\pi}{30\sqrt{g}} \right)^2 n^2 R_{\nu} \sqrt{1 - \left( \frac{\pi}{30\sqrt{g}} \right)^4 n^4 R_{\nu}^2} \right\}$$
(49a)

或

$$\lambda = \frac{4r_0}{\pi R_0^2} \sum_{\nu=1}^{N} \left[ R_0 - (2\nu - 1)r_0 \right] \left\{ \pi - 2\cos^{-1}\left(\frac{\pi n}{30}\sqrt{\frac{R_0 - (2\nu - 1)r_0}{g}}\right)^2 + \left(\frac{\pi}{30\sqrt{g}}\right)^2 n^2 (R_0 - (2\nu - 1)r_0)\sqrt{1 - \left(\frac{\pi}{30\sqrt{g}}\right)^4 n^4 (R_0 - (2\nu - 1)r_0)^2} \right\}.$$
(49b)

此外,用以前的关系可导得抛物綫的空隙比重

$$\lambda'_{\rho\nu} = \frac{S_{\rho\nu} - (\mu - 1) 2r_0}{S_{\rho\nu}} \equiv 1 - \frac{4R_{\nu} \sin \alpha_{\nu} \cos \alpha_{\nu}}{S_{\rho\nu}}$$
 (50)

及所有抛物綫的总布占比重

$$\lambda_{\rho}' = \frac{\Sigma(\mu - 1)2r_0}{\Sigma S_{e0}} =$$

$$\equiv \frac{8\sum_{\nu=1}^{N}R_{\nu}\sin\alpha_{\nu}\cos\alpha_{\nu}}{\sum_{\nu=1}^{N}\left\{\sin\alpha_{\nu}\cos\alpha_{\nu}(1+3\sqrt{1+8\sin^{3}\alpha_{\nu}})+\cos^{3}\alpha_{\nu}\log_{\sigma}\frac{3\cos\alpha_{\nu}+\sqrt{1+8\sin^{2}\alpha_{\nu}}}{1-\sin\alpha_{\nu}}\right\}R_{\nu}}.$$
 (51)

抛物綫的布占量与鼓室总横断而积的比例,或称为抛物綫的布占因数是

$$\lambda_{\rho} = \frac{\sum_{\nu=1}^{N} 4(\mu - 1)r_{0}^{2}}{\pi R_{0}^{2}} = \frac{8r_{0}}{\pi R_{0}^{2}} \sum_{\nu=1}^{N} R_{\nu} \sin \alpha_{\nu} \cos \alpha_{\nu}.$$
 (52)

最后, 抛物綫的空隙因数是

$$\lambda_{\rho}^{"} = \frac{2r_0 \sum_{\nu=1}^{N} \overline{S}_{\rho\nu}}{\pi R_0^2} = \frac{r_0}{\pi R_0^2} \sum_{\nu=1}^{N} R_{\nu} (\sin \alpha_{\nu} \cos \alpha_{\nu} (1 + 3\sqrt{1 + 8\sin^2 \alpha_{\nu}}) + \cos^3 \alpha_{\nu} \log_e \frac{3 \sin \alpha_{\nu} + \sqrt{1 + 8\sin^2 \alpha_{\nu}}}{1 - \sin \alpha_{\nu}} - 8 \sin \alpha_{\nu} \cos \alpha_{\nu}).$$
 (53)

若再利用弧长  $R_{\nu}\left(\frac{3\pi}{2}-\alpha_{\nu}-\beta_{\nu}\right)$  与角度关系  $\beta_{\nu}=3\alpha_{\nu}-\frac{\pi}{2}$ ,則得相对靜止量的装載 比重

$$\lambda_{s} = \frac{4r_{0}}{\pi R_{0}^{2}} \sum_{v=1}^{N} R_{v} \left( \pi - 2 \cos^{-1} \left( \frac{\pi}{30\sqrt{g}} \right)^{2} n^{2} R_{v} \right). \tag{54}$$

# 七、在定常运行中各层鋼球每循环所需之时間

可以推测,鋼球在球磨中的运动周期大概是不等于鼓室旋轉一周所用的时間,因为鋼球只在鼓室周期的一部分时間与鼓室作无相对运动的共旋,而在其余一部分时間中,鋼球則沿着各所属抛物綫自行飞行.

球磨的鼓室旋轉一周的时間是

1期

$$t = \frac{60}{n} \mathcal{W}, \tag{55}$$

而各层鋼球运动的周期可自下面的思考得出来。 自落着点  $B_n$  至脱离点  $A_n$  的一部分时間中,鋼球与鼓室一同运行的角度是  $\eta_n = \gamma_n + \delta_n$ ;而依据公式 (14),此值是  $\eta_n = 4\gamma_n = 4\left(\frac{\pi}{2} - \alpha_n\right)$ . 鋼球与鼓室一同运动部分所消耗的时間是

$$t_{1\nu} = t \frac{\eta_{\nu}}{2\pi} \equiv \frac{120\left(\frac{\pi}{2} - \alpha_{\nu}\right)}{\pi_n} \equiv \frac{2\pi - 4\alpha_{\nu}}{\omega} \, \text{P}. \tag{56}$$

鋼球在抛物綫上(自点 A, 至点 B,)的自由飞行所需之时間是

$$t_{2\nu} = \frac{x_{B\nu}}{v_{0\nu}\cos\alpha_{\nu}} = \frac{4R_{\nu}\sin\alpha_{\nu}\cos^{2}\alpha_{\nu}}{R_{\nu}\omega\cos\alpha_{\nu}} \stackrel{\text{def}}{=} \frac{60\sin2\alpha_{\nu}}{\pi n} \not D. \tag{57}$$

因此, 鋼球运动的周期是

$$t_{0\nu} = t_{1\nu} + t_{2\nu} = \frac{120\left(\frac{\pi}{2} - \alpha_{\nu}\right) + 60^{\circ} \sin 2\alpha_{\nu}}{\pi_{n}}$$
 (58)

当研磨鼓室每轉一周,有关层的鋼球完成的循环数是

$$i_{\nu} = \frac{t}{t_{\alpha\nu}} = \frac{\pi}{\pi - 2\alpha_{\nu} + \sin 2\alpha_{\nu}},\tag{59}$$

而鋼球与鼓室一同运动的部分时間与鼓室周期之比是

$$j_s = \frac{t_{1\nu}}{t} \equiv 1 - \frac{2\alpha_{\nu}}{\pi} \equiv 1 - \frac{2\cos^{-1}\frac{\omega^2 R_{\nu}}{g}}{\pi},$$
 (60)

及鋼球在抛物綫上飞行所用的部分时間与鼓室周期之比是

$$j_{\kappa} = \frac{t_{2\nu}}{t} = \frac{\sin 2\alpha_{\nu}}{\pi} \equiv \frac{2}{\pi} \frac{\omega^{2} R_{\nu}}{g} \sqrt{1 - \frac{\omega^{4} R_{\nu}^{2}}{g^{2}}},$$
 (61)

此处自然应有关系

$$\frac{1}{i_{\nu}}=j_{S}+j_{K}. \tag{62}$$

若应用公式(2),则可将 $i_n$  化为  $R_n$  与n 的函数:

$$i_{\nu} = \pi / \left(\pi - 2\cos^{-1}\left(\frac{\pi}{30}\right)^{2} \frac{R_{\nu}}{g} n^{2} + 2\left(\frac{\pi}{30}\right)^{2} \frac{R_{\nu}}{g} n^{2} \sqrt{1 - \left(\frac{\pi}{30}\right)^{4} \left(\frac{R_{\nu}}{g}\right)^{2} n^{4}}\right),$$

其中, n 应遵循限制

$$\frac{30}{\pi} \sqrt{\frac{g \cos \alpha_{\text{opt}}}{R_{\nu}}} \le n < \frac{30}{\pi} \sqrt{\frac{g}{R_{\nu}}}.$$

此外,应当注意,当

$$\alpha_{\rm opt} = \cos^{-1} \frac{1}{\sqrt{3}} = \sin^{-1} \sqrt{\frac{2}{3}}$$

时,  $i_{\rm opt} \approx 1.44$ .

# 八、鋼球研磨所消耗之功率

鋼球研磨所消耗的功率包括(此处不計任何机械摩擦的消耗)各层装載量 G,自落着点 B,举至脱离点 A,所增之势能与各层鋼球折算到鼓室每旋一周具备的动能。

把鋼球装載 G。自落着点 B。举到相应的脱离点 A。所消耗的功量依鋼球的所在层有所区別,例如,最外层的装載量最大也举起的最高。此功应为

$$A_{\rho\nu} = G_{\nu} \cdot y_{B\nu} \equiv 4G_{\nu}R_{\nu} \sin^2 \alpha_{\nu} \cos \alpha_{\nu}, \qquad (63)$$

其中自然

$$\sum_{\nu=1}^{N} G_{\nu} = G, \tag{64}$$

而 N代表在定常的运动状态下全部装藏量所形成的层数。 因此,在鋼球运动的每个循环中,高举的总功量是

$$L_{\rho} = \sum_{\nu=1}^{N} A_{\rho\nu} = 4 \sum_{\nu=1}^{N} G_{\nu} R_{\nu} \sin^{2} \alpha_{\nu} \cos \alpha_{\nu}, \qquad (65)$$

其中  $\alpha_v = \cos^{-1} \frac{\omega^2 R_v}{g}$ . 但根据公式 (59), 当鼓室每轉一周,各层装載量的循环数为  $i_v$ ; 因此,当鼓室每旋一周,全部装載量举高之总功量是

$$L_{1} = \sum_{\nu=1}^{N} i_{\nu} A_{\mu\nu} = 4\pi \sum_{\nu=1}^{N} \frac{G_{\nu} R_{\nu} \sin^{2} \alpha_{\nu} \cos \alpha_{\nu}}{\pi - 2\alpha_{\nu} + 2 \sin \alpha_{\nu} \cos \alpha_{\nu}}.$$
 (66)

再者,若自鋼球的动能推算該动能相应之功量,則为鋼球的每个循环而得

$$L_K = \sum_{\nu=1}^{N} A_{K^{\nu}} = \frac{1}{2} \sum_{\nu=1}^{N} \frac{G_{\nu}}{g} \nu_{0\nu}^2 = \frac{1}{2g} \left(\frac{\pi n}{30}\right)^2 \sum_{\nu=1}^{N} G_{\nu} R_{\nu}^2; \tag{67}$$

而当鼓室每旋一周,此动能所消耗之功量为

$$L_2 = \sum_{\nu=1}^{N} i_{\nu} A_{K\nu} = \frac{\pi}{2g} \left(\frac{\pi n}{30}\right)^2 \sum_{\nu=1}^{N} \frac{G_{\nu} R_{\nu}^2}{\pi - 2\alpha_{\nu} + \sin 2\alpha_{\nu}}; \tag{68}$$

而在每循环中,动能与势能的比例是

$$\frac{L_{2}}{L_{1}} = \frac{\omega^{2}}{8g} \frac{\sum_{\nu=1}^{N} \frac{G_{\nu}R_{\nu}^{2}}{\pi - 2\alpha_{\nu} + \sin 2\alpha_{\nu}}}{\sum_{\nu=1}^{N} \frac{G_{\nu}R_{\nu}\sin^{2}\alpha_{\nu}\cos\alpha_{\nu}}{\pi - 2\alpha_{\nu} + \sin 2\alpha_{\nu}}}.$$
(69)

因此, 鼓室每旋轉一周所需之功量是

$$L = L_1 + L_2 = 4\pi \sum_{\nu=1}^{N} \frac{G_{\nu} R_{\nu} \sin^2 \alpha_{\nu} \cos \alpha_{\nu} + \frac{\omega^2}{8g} G_{\nu} R_{\nu}}{\pi - 2\alpha_{\nu} + \sin 2\alpha_{\nu}}.$$
 (70)

此外,在上列討論中,G。代表在定常的迴轉中各层装載量的重量。 不难証明,它必等于

$$G_{\nu} = \gamma_{m} V_{\nu} = \gamma_{m} \left\{ 2r_{0} \left( \frac{3\pi}{2} - \alpha_{\nu} - \beta_{\nu} \right) R_{\nu} + 2r_{0} (S_{\rho\nu} - \overline{S}_{\rho\nu}) \right\} l,$$

或用以前的有关关系簡化成

$$G_{\nu} = 4 \gamma_{m} r_{0} l R_{\nu} (\pi - 2\alpha_{\nu} + 2 \sin \alpha_{\nu} \cos \alpha_{\nu}), \qquad (71)$$

其中新数值  $V_n =$  谷區装載量的体积;  $\gamma_m = 装載鋼球与研磨物料的平均比重; <math>l =$  鼓室内空的长度, 并应保持关系

$$\sum_{\nu=1}^{N} V_{\nu} = \lambda \pi R_0^2 I. \tag{72}$$

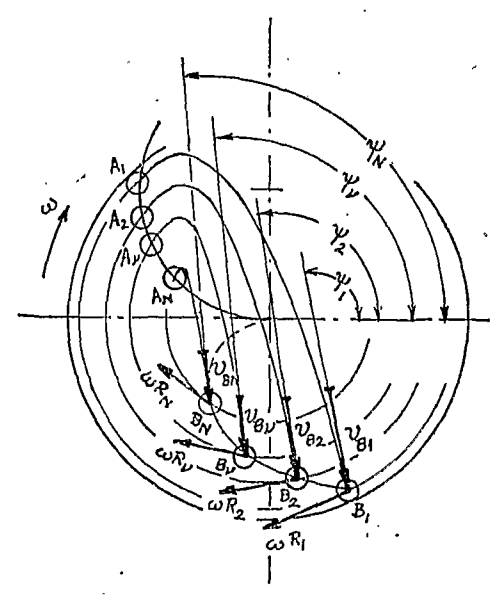
再考虑上馬力的单位关系,則得球磨所需之功率

$$L = \frac{4\pi n}{60 \times 75} \sum_{\nu=1}^{N} \frac{G_{\nu} R_{\nu} \sin^{2} \alpha_{\nu} \cos \alpha_{\nu} + \frac{1}{8g} \left(\frac{\pi n}{30}\right)^{2} G_{\nu} R_{\nu}^{2}}{\pi - 2\alpha_{\nu} + 2 \sin \alpha_{\nu} \cos \alpha_{\nu}} = \sharp \mathcal{D}.$$
 (70a)

# 九、各层鋼球在落着点上的碰撞力向量

各层鋼球在落着点 B, 处与鼓室壳壁内表面作直接或間接碰撞时,各球給予壳壁一个碰撞力;这些力对于鼓室两端轴头的应力自然有一部分的影响。因此,欲检查鼓室两端轴头的应力是否超过允許应力之前,須先将各层鋼球的碰撞力推算出来。

我們可以这样思考来确定推算过程:各层的鋼球自其所属脫离点  $A_1$ ,  $A_2$ ,  $\cdots$ ,  $A_N$  沿其相应的抛物綫飞行至其相应的落着 点  $B_1$ ,  $B_2$ ,  $\cdots$ ,  $B_N$ , 直接与鼓室壳壁内表面或与鋼球及物料的混合质体相碰而消失其在落着点处达到的速度  $v_{M1}$ ,  $v_{M2}$ ,  $\cdots$ ,  $v_{NN}$ . 在点  $B_1$  上, 鋼球可能是与鼓室壳壁的内表面直接碰撞,而在其他落下点  $B_2$ ,  $B_3$ ,  $\cdots$ ,  $B_N$  处的鋼球則一定是与鋼球及装載物料的混合质体相碰撞。因为混合体中有相当細小的顆粒及很大成份的粉状物料,所以为简便計,我們試假設各层的鋼球在落着点处均系非弹性碰撞。这个假定虽然与鋼球碰撞的实际情形有所差别,然而这个差别一定不会太大。 再者,在这个假定下,我們准可得到对軸头的应力更安全的



結果,因为这样所产生的碰撞力的方向比較更会接近,可以說,我們在这个假定下所得出的总碰撞力向量及碰撞力向量矩是它們的极外限值.另一方面,若假定部分弹性碰撞,則各鋼球在碰撞后必是継續反射乱碰几次后始消失其在落着点处的速度. 在这种情况下,我們一定得到此非弹性碰撞較为不集中的碰撞力.

## (4) 各层鋼球在其落着点上所达到的速度

自鋼球的鉛垂位移方程

$$y_{\nu} = v_{0\nu} \sin \alpha_{\nu} \cdot t - \frac{1}{2} gt^2 \tag{73}$$

可得鋼球鉛垂速度的一般方程

$$\frac{dy_{\nu}}{dt} = v_{\nu y} = v_{\eta \nu} \sin \alpha_{\nu} - gt. \tag{74}$$

再引用落着点与脱离点之間的鉛垂距离  $y_{By} = -4R_{\nu} \sin^2 \alpha_{\nu} \cos \alpha_{\nu}$ ,可自公式 (73) 得出鋼球沿抛物綫飞行所用的时間

$$t_{B\nu} = \frac{v_{0\nu}\sin\alpha_{\nu}}{g} + \sqrt{\frac{v_{0\nu}^2\sin^2\alpha_{\nu}}{g^2} + \frac{8R_{\nu}\sin^2\alpha_{\nu}\cos\alpha_{\nu}}{g}} \equiv 4\sqrt{\frac{R_{\nu}\sin^2\alpha\cos\alpha_{\nu}}{g}}.$$
 (75)

将上式代入公式(74),則得鋼球在落着点上的鉛垂速度

$$v_{Bey} = -\sqrt{v_{\text{in}}^3 \sin^2 \sigma_\nu + 8R_\nu g \sin^2 \sigma_\nu \cos \sigma_\nu} \equiv -3\sqrt{gR_\nu \sin^2 \sigma_\nu \cos \sigma_\nu}. \tag{76}$$

另一方面,自水平位移方程

$$x_{\nu} = v_{\text{n}\nu} \cos \alpha_{\nu} \cdot t \tag{77}$$

得鋼球在落着点处的水平速度

$$\frac{dx_{\nu}}{dt} = \nu_{B\nu x} = \nu_{0\nu} \cos \alpha_{\nu}. \tag{78}$$

把公式(76)与(78)联合,则得出鋼球在落着点上所达到的速度

$$v_{B\nu} = \sqrt{v_{B\nu_x}^2 + v_{B\nu_y}^2} = \sqrt{gR_{\nu}\cos\alpha_{\nu}(\cos^2\alpha_{\nu} + 9\sin^2\alpha_{\nu})} \equiv \sqrt{gR_{\nu}\cos\alpha_{\nu}(1 + 8\sin^2\alpha_{\nu})}$$
. (79) 附带提及,也可利用鋼球的下落总关系(24) 得出鋼球在落着点处的鉛垂速度

$$v_{B\nu y} = \sqrt{2gH_{\nu}} = \sqrt{v_{0\nu}^2 \sin^2 \alpha_{\nu} + 8gR_{\nu} \sin^2 \alpha_{\nu} \cos \alpha_{\nu}}.$$

### (B) 在落着点上抛物綫的切綫的方向

$$\tan \psi_{\nu} \equiv \left(\frac{dy}{dx}\right)_{B\nu} = \tan \alpha_{\nu} - \frac{4R_{\nu}g\sin \alpha_{\nu}}{\nu_{0\nu}^{2}} = -3\tan \alpha_{\nu},$$

$$\cos \psi_{\nu} = -\frac{1}{\sqrt{1 + 9\tan^{2}\alpha_{\nu}}}, \quad \sin \psi_{\nu} = \frac{3\tan \alpha_{\nu}}{\sqrt{1 + 9\tan^{2}\alpha_{\nu}}}.$$
(80)

此外,对于鼓室中心而言,落着点的坐标距是

$$x_{B\nu} = R_{\nu} \cos \beta_{\nu}, \quad y_{B\nu} = R_{\nu} \sin \beta_{\nu}. \tag{81}$$

#### (C) 鋼球的碰撞力向景

在各层钢球的每个循环中,各层的全部鋼球均在其所属落着点处通过非弹性碰撞失

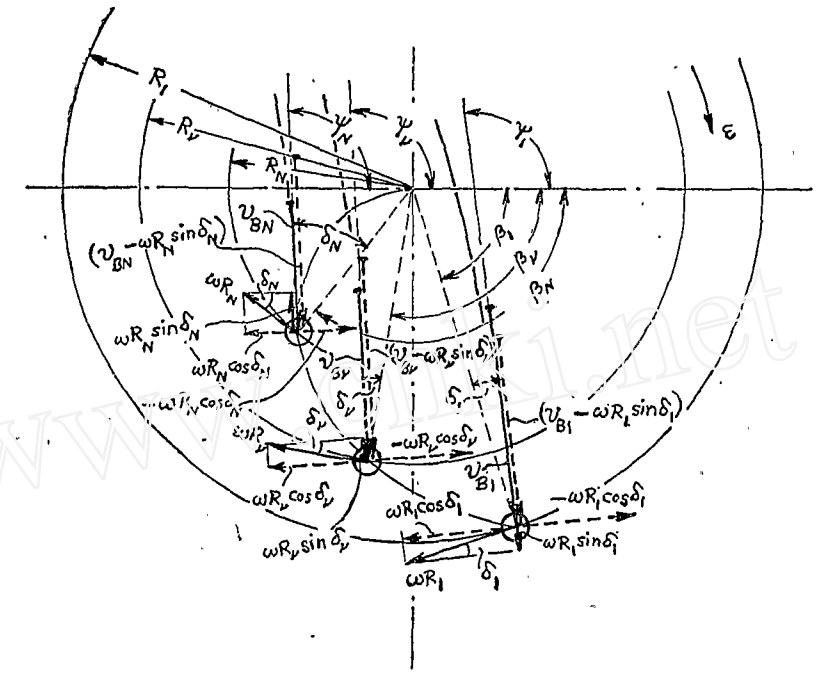


图 8. 各层鋼球在共所属落着点处对鼓室的相对速度

去其速度而产生碰撞力;但应考虑到鼓室的自身轉动对于碰撞力的影响。 設 v<sub>B</sub>,(图 8). 代表鋼球在落着点上在其原来的运动方向上对于鼓室壁的相对速度,則得

$$v_{B\nu_r} = |\vec{v}_{B\nu}| - \omega R_{\nu} \sin \delta_{\nu}, \tag{82}$$

中其

1 期

$$\delta_{\nu} = \pi - \psi_{\nu} - \beta_{\nu} \equiv \frac{3\pi}{2} - \psi_{\nu} - 3\alpha_{\nu}; \qquad (83)$$

而各层鋼球垂直于原来运动方向的相对速度是

$$\nu_{B\nu t} = -\omega R_{\nu} \cos \delta_{\nu}. \tag{84}$$

假設系非弹性碰撞,則上面两个相对速度的消失所产生的碰撞力(图 9)向量是

$$\vec{P}_{B\nu r} = \frac{G_{\nu}}{g} \frac{|\vec{v}_{B\nu}| - \omega R_{\nu} \sin \delta_{\nu}}{t_{cv}}, \tag{85}$$

$$\vec{P}_{B\nu t} = \frac{G_{\nu}}{g} \frac{\omega R_{\nu} \cos \delta_{\nu}}{t_{\Pi\nu}}.$$
 (86)

据此,这些碰撞力向量的水平与鉛垂分力是

$$P_{B^{\nu}rx} = |\vec{P}_{B^{\nu}r}|\cos(\pi + \psi_{\nu}) \equiv -\frac{G_{\nu}}{g} \frac{|\vec{v}_{B^{\nu}}| - \omega R_{\nu} \sin \delta_{\nu}}{t_{0^{\nu}}} \cos \psi_{\nu}, \qquad (87)$$

$$P_{B^{\nu}ry} = |\overline{P}_{B^{\nu}r}| \sin(\pi + \psi_{\nu}) \equiv -\frac{G_{\nu}}{g} \frac{|\overline{v}_{B^{\nu}}| - \omega R_{\nu} \sin \delta_{\nu}}{f_{\text{out}}} \sin \psi_{\nu}, \tag{88}$$

$$P_{B\nu tx} = |\vec{P}_{B\nu t}| \cos\left(\frac{\pi}{2} - \psi_{\nu}\right) \equiv + \frac{G_{\nu}}{g} \cdot \frac{\omega R_{\nu} \cos \delta_{\nu}}{t_{0\nu}} \sin \psi_{\nu}, \tag{89}$$

$$|P_{B\nu ty}| = |\vec{P}_{B\nu t}| \sin\left(\frac{\pi}{2} - \psi_{\nu}\right) \equiv + \frac{G_{\nu}}{g} \cdot \frac{\omega R_{\nu} \cos \delta_{\nu}}{t_{0\nu}} \cos \psi_{\nu}. \tag{90}$$

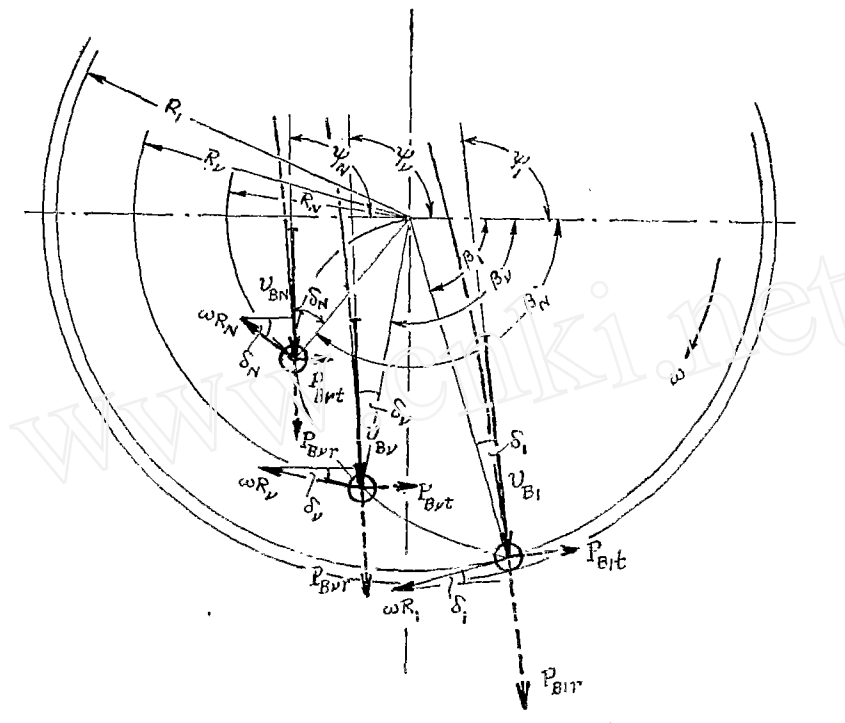


图 9. 各层鋼球的碰撞力向量

而总碰撞力向量的絕对值是

$$P_N = \sqrt{\{\sum (P_{B^v rx} + P_{B^v t_x})\}^2 + \{\sum (P_{B^v ry} + P_{B^v ty})\}^2}$$
 (91)

及其方向角是

$$\varphi_N = \tan^{-1} \frac{\sum (P_{B^v r y} + P_{B^v t y})}{\sum (P_{B^v r x} + P_{B^v t x})}.$$
 (92)

应提及,上式中N系指鋼球的层数.

## (D) 无相对运动的装载部分的重力及其离心力向量

为簡便計,我們可采用二脫商角  $\alpha_1$  与  $\alpha_2$  及二落着角  $\beta_1$  与  $\beta_2$  的平均值而得装載圓份 角(图 10)

$$\theta_{\nu} \approx \frac{3\pi}{2} - \frac{1}{2} \left( \alpha_1 + \alpha_{\nu} + \beta_1 + \beta_{\nu} \right). \tag{93}$$

設有关二扇面的面积是

$$f_{1\nu} = (R_1 + r_0)^2 \frac{\theta_{\nu}}{2}, \quad f_{2\nu} = (R_{\nu} - r_0)^2 \frac{\theta_{\nu}}{2}, \quad f_{\nu} = f_{1\nu} - f_{2\nu};$$
 (93a)

及其重心半径

$$\rho_{1\nu} = \frac{2}{3} (R_1 + r_0) \frac{\sin \frac{\theta_{\nu}}{2}}{\frac{\theta_{\nu}}{2}}, \qquad \rho_{2\nu} = \frac{2}{3} (R_{\nu} - r_0) \frac{\sin \frac{\theta_{\nu}}{2}}{\frac{\theta_{\nu}}{2}},$$

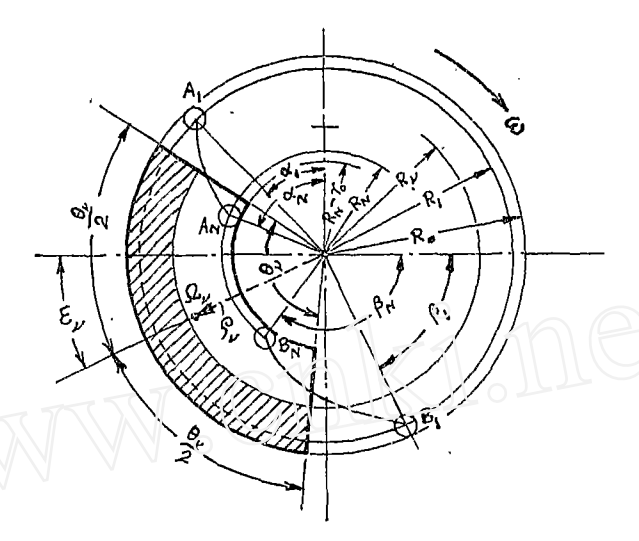


图 10. 相对削止装载部分的重力与离心力

則装載物的相对靜止部分的重心距是

$$\rho_{\nu} = \frac{f_{1\nu}\rho_{1\nu} - f_{2\nu}\rho_{2\nu}}{f_{1\nu} - f_{2\nu}} = \frac{(R + r_0)^2 \frac{\theta_{\nu}}{2} \cdot \frac{2}{3} (R_1 + r_0) \frac{\sin\frac{\theta_{\nu}}{2}}{\frac{\theta_{\nu}}{2}} - (R_{\nu} - r_0)^2 \frac{\theta_{\nu}}{2} \cdot \frac{2}{3} (R_{\nu} - r_0) \frac{\sin\frac{\theta_{\nu}}{2}}{\frac{\theta_{\nu}}{2}}}{(R_1 + r_0)^2 \frac{\theta_{\nu}}{2} - (R_{\nu} - r_0)^2 \frac{\theta_{\nu}}{2}} = \frac{(R_1 + r_0)^2 \frac{\theta_{\nu}}{2} - (R_{\nu} - r_0)^2 \frac{\theta_{\nu}}{2}}{(R_1 + r_0)^2 \frac{\theta_{\nu}}{2} - (R_{\nu} - r_0)^2 \frac{\theta_{\nu}}{2}}$$

$$=\frac{2}{3}\frac{(R_1+r_0)^2+(R_1+r_0)(R_\nu-r_0)+(R_\nu-r_0)^2}{R_1+R_\nu}\frac{\sin\frac{\theta_\nu}{2}}{\frac{\theta_\nu}{2}}.$$
 (94)

而重心半径綫与通过鼓室中心的水平綫間的角是

$$\varepsilon_{\nu} = \frac{\theta_{\nu}}{2} - \left(\frac{\pi}{2} - \frac{\alpha_{1} + \alpha_{\nu}}{2}\right) \equiv \frac{\pi}{4} + \frac{\alpha_{1} + \alpha_{\nu}}{4} - \frac{\beta_{1} + \beta_{\nu}}{4}. \tag{95}$$

因此,相对静止装戴重量的轴向分量是

$$G_{vx}=0, \quad G_{vy}=G=\gamma_m f_v l, \qquad (96)$$

其中装載鋼球与物料的平均比重是

$$\gamma_{m} = \frac{\frac{4}{3} \pi r_{0}^{3} \gamma_{\sigma} + \left[ (2 r_{0})^{3} - \frac{4}{3} \pi r_{0}^{3} \right] \gamma_{x}}{(2 r_{0})^{3}} \equiv \gamma_{x} + \frac{\pi}{6} (\gamma_{\sigma} - \gamma_{z}), \qquad (96a)$$

γ。代表鋼的比重, γ。代表物料的比重。相对靜止装識部分的离心力的軸向分量是

$$Z_{\nu x} = \frac{\gamma_m}{g} f_{\nu} l \rho_{\nu} \omega^2 \cos \varepsilon_{\nu}, \quad Z_{\nu y} = \frac{\gamma_m}{g} f_{\nu} l \rho_{\nu} \omega^2 \sin \varepsilon_{\nu}. \tag{97}$$

### (E) 通过鼓室中心的軸向分力与总力向量

若 G, 代表鼓室的自身重量, 則总的水平分力与鉛垂分力是

$$F_{vx} = \sum (P_{Bvrx} + P_{Bvtx}) + Z_{vx}, \quad F_{vy} = \sum (P_{Bvry} + P_{Bvty}) + G_{vy} + G_t + Z_{vy}, \quad (98)$$

而总力

$$F_{\nu} = \sqrt{F_{\nu x}^2 + F_{\nu \nu}^2} \tag{99}$$

的方向角是

$$\Psi = \tan^{-1} \frac{F_{\nu y}}{F_{\nu x}}.$$
 (100)

## (F) 重力与碰撞力的总扭力矩

于相对静止部分的重力矩

$$M_{1\nu} = \gamma_m f_{\nu} l \rho_{\nu} \cos \varepsilon_{\nu} \tag{101}$$

上,再加上碰撞力的扭力矩

$$M_{2v} = \sum \{x_{Bv}(P_{Ev_{Fy}} + P_{Bvty}) - y_{Bv}(P_{Bv_{Fx}} + P_{Bvtx})\}, \qquad (102)$$

則得总扭力矩

$$M_{\nu} = \gamma_{m} f_{\nu} l \rho_{\nu} \cos \varepsilon_{\nu} + \sum \{ x_{B\nu} (P_{B\nu ry} + P_{B\nu ty}) - y_{B\nu} (P_{B\nu rx} + P_{B\nu tx}) \}. \tag{103}$$

# 十、鼓室两端軸头的应力检查

用两軸头的投影面积 2dzalz 除总力 Fv。則得出两軸头表面的压应力

$$P_{zv} = \frac{F_v}{2d_{za}l_x},\tag{104}$$

其中  $d_{sa}$  = 軸头的外直径;  $l_{s}$  = 单个轴头的长度;  $P_{s}$  则取自公式( $\infty$ ).

若推动机系通过鼓室一端的帕头轉动鼓室,则鼓室帕头的扭轉应力是

$$\tau_{zv} = \frac{16d_{za}M_{v}}{\pi(d_{za}^{\dagger} - d_{zi}^{\dagger})},\tag{105}$$

其中 dzi 代表軸头的内直径.

有的球磨的推动传递是通过镶固于鼓室壳壁外表面上的一个大齿輪,齿輪每靠近一端的轴头(图 11),这样的机构,则須用公式

$$\tau_{tv} = \frac{16(2R_0 + 2t)M_v}{\pi\{(2R_0 + 2t)^4 - (2R_0)^4\}}$$
(106)

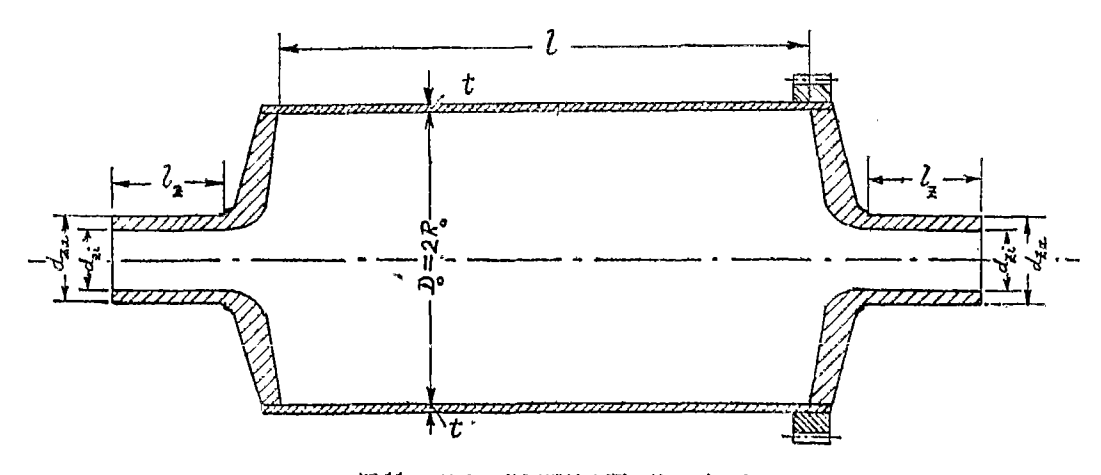


图 11. 鼓室及其两端轴夹断面的各项尺寸

来检查鼓室壳壁的扭轉应力,其中 t 代表鼓室壳壁的厚度。

若在弯曲負荷方程

$$M = \frac{Pl}{2} \left( \frac{1}{6} - \frac{x}{l} + \frac{x^2}{l^2} \right)$$

中,以水=0或水=1,我們就得出符合鼓室支承情况的最大弯曲力矩

$$M_{\text{max}} = \frac{1}{12} Pl, \tag{107}$$

其中P代表总負荷力,也就是等于公式(99)所代表之力。 这个最大弯曲力矩是施于鼓室与軸头紧連的横断面上。因此,此横断面中的弯曲应力是

$$\sigma_{b\nu} = \frac{1}{12} \cdot \frac{l \sqrt{F_{\nu x}^2 + F_{\nu y}^2}}{\frac{\pi}{32} (d_{za}^4 - d_{zi}^4)/d_{za}}.$$
 (108)

传动如系通过一端的軸头,則軸头表面层材料的总扭轉应力是

$$\tau_{\text{max}\nu} = \frac{1}{2} \sqrt{\sigma_{b\nu}^2 + 4\tau_{\nu}^2} \,. \tag{109}$$

## 十一、数例与計論

因限于时間,未能作規模更大的数字計算,此处只配合着迅速解决某厂因需要提高生产急于解决的問題,也附带着为本文导出的某些規律代入数字,俾能对它們作出相应限度的討論.

某厂的球磨結构如图 11 所示。 該厂迄今很久使用的装載量是 13.5 吨,其装载因数只达到了約 17%。 現在因为要提高生产,拟提高球磨的装載量,因此在該厂的工程师头脑里引起了三个主要的問題,即:(1)装载因数到底允許提高到几何,方可达到球磨的絕对最高粉碎产量?(2)当装载量提高了,該球磨的两个轴头的内应力是否会达到危险的程度?(3)所需功率将依装载量起什么規律的变化? 鑑于时間短促,本文的理論部分也曾只限于解决上面这三个問題;其实在球磨的操作中,这三个問題也就是主要的了.

#### (1) 工作鋼球直径的拟取

在一般的参考資料中,我們常看到的鋼球直径的限制方程是

$$d_0 = 2r_0 \le \frac{2R_0}{9}$$
  $\vec{x}$   $d_0 = 2r_0 \le \frac{2R_0}{12}$ .

現在,若自公式(22)与(23)得出的关系

$$N \le 1 + \frac{R_1 - R_N}{2r_0} = 1 + \left(1 - \frac{\cos \alpha_N}{\cos \alpha_1}\right) \frac{R_0}{2r_0}$$

中,設  $2r_0 = 75$  公厘,  $R_1 = R_0 - r_0 = 900 - 37.5 = 862.5$  公厘,  $\alpha_1 = 54^{\circ}40'$ ,  $\alpha_N = 73^{\circ}50'$ , 則得

$$N = 1 + \left(1 - \frac{0.278}{0.578}\right) \frac{862.5}{75} = 1 + 5.96 \approx 7.$$

因为所得数与 7 相差极微,我們可以选定,在球磨的操作中,鋼球形成的层数 N=7. 虽然所选的直径  $2r_0=75$  公厘与該厂現用的实际直径不符,不过要避免費时过多的运算,我們确定拟取这个数值. 其实,即使用 N=7,已經使計算过程不算簡便了,查該厂現用鋼球的直径太小,粉碎效率极低,因此就想建議該厂更換較大的鋼球。所以在这个計算中,也就不必再用該厂現用的鋼球直径了。

#### (2) 相应于絕对最高产量球磨鼓室的轉数

若引用公式(25)或(31),則得

$$n = \frac{30}{\pi} \sqrt{\frac{g \cos \alpha_1}{R_1}} = \frac{30}{\pi} \sqrt{\frac{9.81 \times 0.5783}{0.8625}} = \frac{30}{\pi} \sqrt{6.56} = 24.5 \text{ Ps}/\text{G}.$$

## (3) 在鼓室的定常迴轉中,装載價体最里层的学径

由公式(23)或(32)可得最内层的丰径

$$R_N = R_1 + (1 - N)2r_0 = 862.5 - 6 \times 75 = 412.5 \text{ }$$

于是根据上面的計算,我們得出下列常用的数表(表 1)。

ν = 第 层 数	1	2	3	4	5	6	7 = N
R <sub>v</sub> 公尺	0.8625	0.7875	0.7125	0.6375	0,5625	0,4875	0.4125
αν角度	54.7	58.1	61.4	64.6	67.8	70.9	73.9
do 红的	0.954	1.024	1,070	1.127	1.182	1.236	1.288
$\sin lpha_ u$	0.815	0.849	0.878	0.904	0.926	0.945	0.961
cos α <sub>ν</sub>	0.578	0.529	0.479	0.428	0.378	0.328	0.278

表 1. 在运算中經常用到的一些数字

此处应請注意,因受到运算过程的影响,有些函数的变化曾以鋼球在定常运动中所排成的层数  $\nu$  为自主变量,有些則已折算到依据装的重量  $G_{\nu}$ ; 好在二者造成的差別頗小,因而曲綫在这两个自变量中的趋势并不改变。

#### (4) 各层鋼球抛物綫的长度

若用表 1 里的数字及抛物綫的长度公式(41)进行运算,则得表 2 中的数字,自所繪成

ν = 5 б  $S_{PV}/R_{V}$ 2.16 2.08 1.99 1.86 1.70 1.52 1.31 1.862 1.640 1.418 1.186 0.957 0.740 0.541  $S_{PV}$ 公尺

表 2. 各层鋼球拋物綫的长度

的曲綫(图 12)可以看出, 抛物綫自然是应依照层数所属半径而縮短, 各层抛物綫与其所属半径的比例也是逐漸縮小. 不难証明, 为极限的情况, 我們得到

$$\lim_{\alpha_{\nu}=0} S_{\ell^{\nu}} = \lim_{\alpha_{\nu}=\frac{\pi}{2}} S_{\ell^{\nu}} = 0. \tag{110}$$

据此, 曲綫  $S_{po} = S_{po}(\alpha)$  在相应的角度  $\alpha$  上有其最大值, 因为我們不直接需要它, 所以不再研究它了.

者再用公式(46),(47)及(50)进行运算,即得表3及图13。此外,

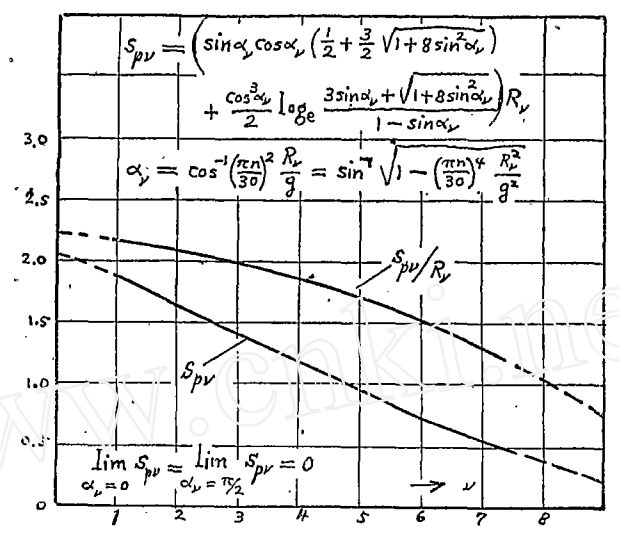


图 12. 各层抛物綫长度及其与所属半徑之比

表 3. 拋物綫的布占数字

ν	1	2	3	4	5	6	7
Spv公尺	1.862	1.640	1.418	1.186	0.957	0.740	0.541
$(\mu-1)2r_0 = 4R_{\nu}\sin\alpha_{\nu}\cos\alpha_{\nu}$ 公尺	1.628	1.412	1.200	0.988	0.788	0.604	0.440
$\bar{S}_{pv}=S_{pv}-(\mu-1)2r_0$ 公尺	0.234	0.228	0.218	0.198	0.169	0.136	0.101
$\lambda_{pv}' = \frac{S_{pv} - (\mu - 1)2r_0}{S_{pv}}$	0.126	0.139	0.154	0.167	0.177	0.184	0.187

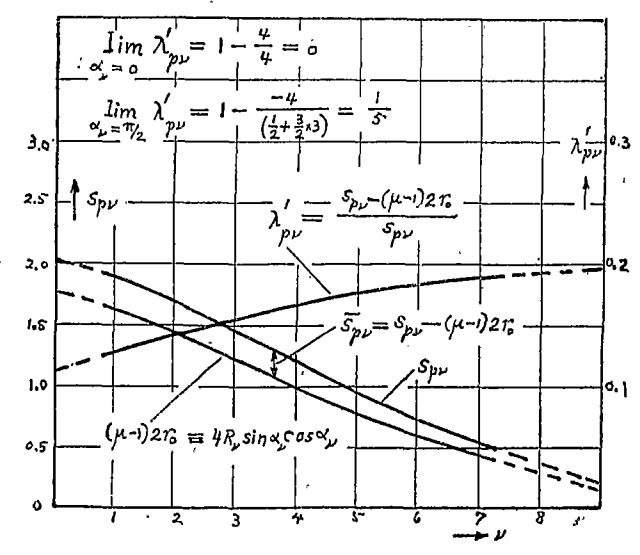


图 13. 她物緻的布占情况

又可推得

$$\lim_{\alpha_{\nu}=0} \lambda'_{p\nu} = 1 - \frac{4}{4} = 0, \quad \lim_{\alpha_{\nu}=\frac{\pi}{2}} \lambda'_{p\nu} = 1 - \frac{-4}{-\left(\frac{1}{2} + \frac{3}{2} \times 3\right)} = \frac{1}{5}.$$
 (111)

自图 13 可以看出, 抛物綫的空隙比重与所属半径成比例的增加而以 20% 为限值.

## (5) 球磨装載因数

用公式(49)进行运算,就得出重要数表(表 4)及图 14. 自表 4 得出的重要結果是本文  $R_0 = 0.9$  公尺,  $2r_0 = 75$  公厘的情况,絕对最高产量因数是  $\lambda_{max} = 0.456$ ,意即,若再使装載量增加超过此数,則球磨的絕对粉碎产量反而又降低了. 自該图也可看出,与鼓室相对静止的部分在装在量中比在抛物綫上的布占成份占較高的比重.

ν	1	2	3	4	5	6	7
$\lambda_{Sv} = \frac{4r_0}{\pi R_0^2} \Sigma (\pi - 2\alpha_v) R_v$	0.063	0.114	0.159	0.189	0.215	0.235	0.249
$\lambda_{pv} = \frac{8r_0}{\pi R_0^2} \Sigma R_v \sin \alpha_v \cos \alpha_v$	0.048	0.089	0.125	0.154	0.177	0.195	0.208
$\lambda_{\nu} = \lambda_{S\nu} + \lambda_{T\nu}$	0.711	0.203	0.284	0.343	0,392	0.430	0.456

表 4. 球磨的装裁因数

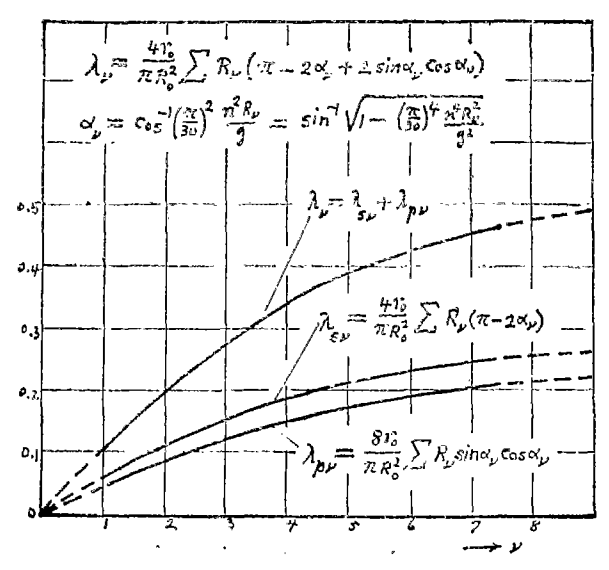


图 14. 球磨装战因数依层数的变化

此外,曾进行过計算,当10=5公分至2公分之間时, 1几乎不起显著的改变。

因此在球磨的操作中,就可只照顾所欲研磨的物料块的坚固性来选择鋼球的大小; 岩鋼球太大,則位于鋼球之間的空隙亦大,这样虽然鋼球落下的冲击力大,但打下着位于空隙里的物料。因此,为粗磨宜用較大的鋼球,而为細磨則宜于用較小的鋼球.

#### (6) 当球磨鼓室每轉一周,有关层的鋼球完成的循环数目

用公式(59),(60)及(61)进行运算,即得表 5 中的数字及图 15 中的曲綫。 自曲綫可以看出,鋼球层的半径愈小,完成其循环愈快。 图中 is 代表各該层的鋼球所在的静止弧长与其所属圆周长之比,而 ix 代表各該层的鋼球在抛物綫上飞行所用的时間相当于鼓室每循环的百分比。此外,倘可看出 ix > jx,并可证明

$$\lim_{a_{\nu} = 0} i_{\nu} = 1, \quad \lim_{a_{\nu} = \frac{\pi}{2}} i_{\nu} = \infty. \tag{112}$$

ν	1	2	3	4	5 *	6	7
$i_{\nu} = \frac{\pi}{\pi - 2\alpha_{\nu} + \sin 2\alpha_{\nu}} \text{ iff } $	.1,443	1.573	1.705	1.868	2.130	2.440	2.851
$j_S = \frac{\pi - 2\alpha_v}{\pi}$	0.393	0.349	0.319	0.282	0.247	0.213	0.180
$j_{\mathcal{K}} = \frac{\sin 2\alpha_{\nu}}{\pi}$	0.301	0.285	0.268	0.247	0.223	0.197	0.170

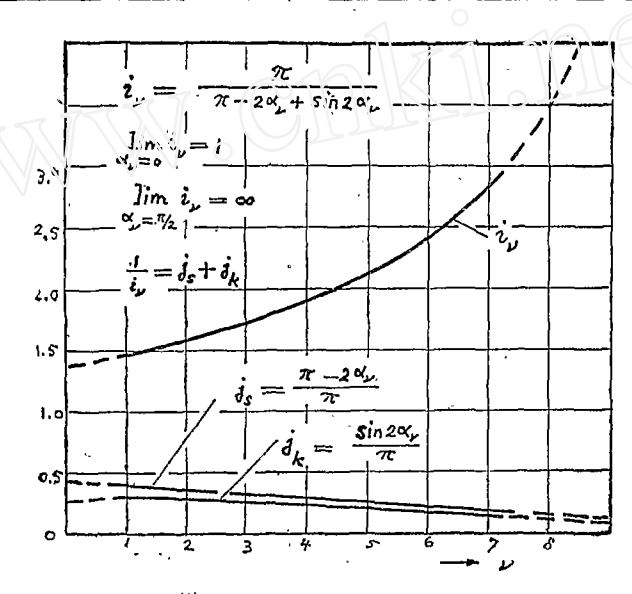


图 15. 鼓室的循环与各层纲球的循环

## (7) 各层鋼球每循环所用的时間

用公式(56),(57)及(59)进行运算,可得表 6 及图 16 中的曲綫。

自图 16 可以看出,鋼球在相对静止弧上运行比在抛物綫飞行用較长的时間,半径較小的层数用較短的时間。此外,尚可証明

$$\lim_{a_{\nu}=0} \frac{t_{1\nu}}{t_{2\nu}} = \lim_{a_{\nu}=0} \frac{\pi - 2\alpha_{\nu}}{\sin 2\alpha_{\nu}} = \infty,$$

$$\lim_{a_{\nu}=\frac{\pi}{2}} \frac{t_{1\nu}}{t_{2\nu}} = \lim_{a_{\nu}=\frac{\pi}{2}} \frac{\pi - 2\alpha_{\nu}}{\sin 2\alpha_{\nu}} = 1.$$
(113)

表6. 各层鋼球的循环时間

ν	1	2	3	4	5	6	7
$t_{1y} = \frac{60(\pi - 2\alpha_y)}{\pi n} \mathcal{P}$	0.963	0.853	0.782	0.692	0.607	0.522	0.442
$t_{2\nu} = \frac{60}{\pi n} \sin 2\alpha_{\nu}  \mathcal{P}_{\nu}$	0.736	0.700	0.656	0.605	0.546	0.484	0.417
$t_{1v}/t_{2v}$	1.310	1.218	1.192	1.143	1.110	1.080	1.065
10v=11v+12v &	1.699	1.553	1.438	1.297	1.153	1.006	0.859

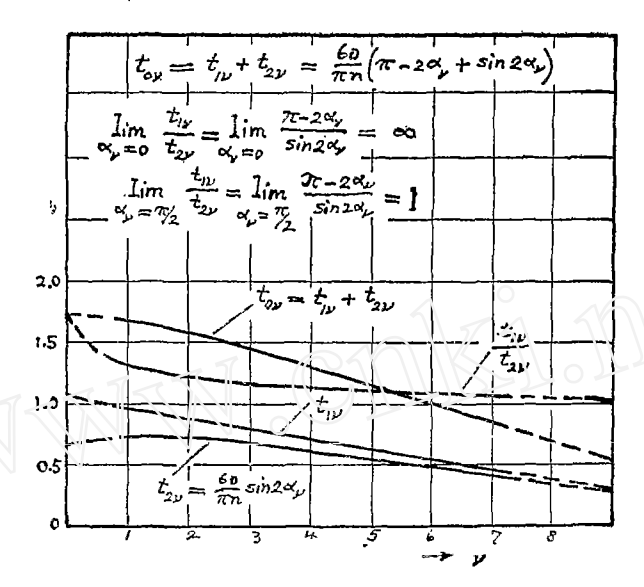


图 16. 谷层鋼球的循环时間

#### (8) 球磨所需的選推动功率

用公式(71),(63)及(67)进行运算,可得表 7 的数字及图 17 中的曲綫。在这曲綫中,比較更有意义的是势能与动能的比例  $A_{P'}/A_{K'}$ .

υ	1	2	3	4	5	б	7
$G_{\nu} = +\nu_{m} r_{0} I R_{\nu} (\pi - 2\alpha_{\nu} + \sin 2\alpha_{\nu})$ might	8.46	7.08	5.82	4.79	3.75	2.84	2.04
$\Sigma G_{ u}$ 吨	8.46	15.54	21.36	26.15	29.90	32.74	34.78
$A_{P\nu} = 4G_{\nu} R_{\nu} \sin^3 \alpha_{\nu} \cos \alpha_{\nu}$ 吨公尺	11.18	8.49	6.11	+.27	2.76	1.62	0.86
$A_{K\nu} = \frac{\omega^2}{2\nu} G_{\nu} R_{\nu}^2$ 吨公尺	2.11	1.47	0.99	0.65	0.40	0,23	0.12
$A_{Pv}/A_{Kv}$	5.29	5.77	6.14	6.54	6.92	7.05	7.15
$A_0 = A_{P_0} + A_{K_0}$ 吨公尺	13.29	9.96	7.10	4.92	3.16	1.85	0.98
Σ.1 <sub>0</sub> 吨公尺	13.29	23,25	30.35	35.27	38,43	40.28	41.26
₩ 4v 吨公尺	19.20	15.71	12.09	9.30	6.65	4.49	2.80
$L=\Sigma i_{\nu}A_{\nu}$ 吨公尺	19.20	34.91	47.00	56.30	62.95	67.44	70.24

表7. 净推动功率

势能的消耗占絕大的成分,自然在抛物綫上这項势能有机会变为动能。 有时若只需要迅速与大約的估計,则可将动能的消耗先略而不計。此外,尚得

$$\lim_{a_{\nu}=0} \frac{A_{P\nu}}{A_{K\nu}} = \lim_{a_{\nu}=0} 8\sin^{2} \alpha_{\nu} = 0,$$

$$\lim_{a_{\nu}=\frac{\pi}{2}} \frac{A_{P\nu}}{A_{K\nu}} = \lim_{a_{\nu}=\frac{\pi}{2}} 8\sin^{2} \alpha_{\nu} = 8.$$
(114)

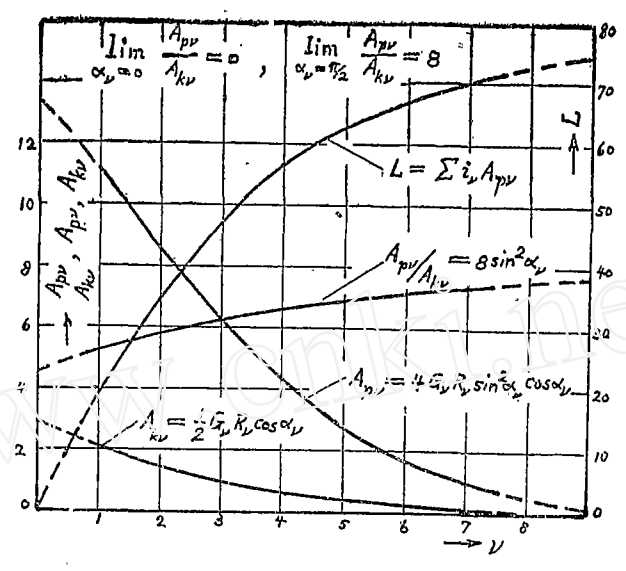


图 17. 滑推动功率依装献层数的改变

## (9) 各层鋼球下落所产生的碰撞力向量

1期

利用公式(80)进行运算,首先得到表 8 及图 18. 为确切規定曲綫  $\psi_{\nu} = \tan^{-1}(-3\tan\alpha_{\nu})$ 

表 8. 在落着点处絕对下落速度的方向角

ν	1	2	3	4	5	б	7
$\psi_{ u}$ 的度 $ au_{ u}=-3 anlpha_{ u}$	103.4	101.7	100.2	98.9	97.8	96.6	95.6
	-4.225	-4.815	-5.490	-6.331	-7.350	-8.640	-10.371

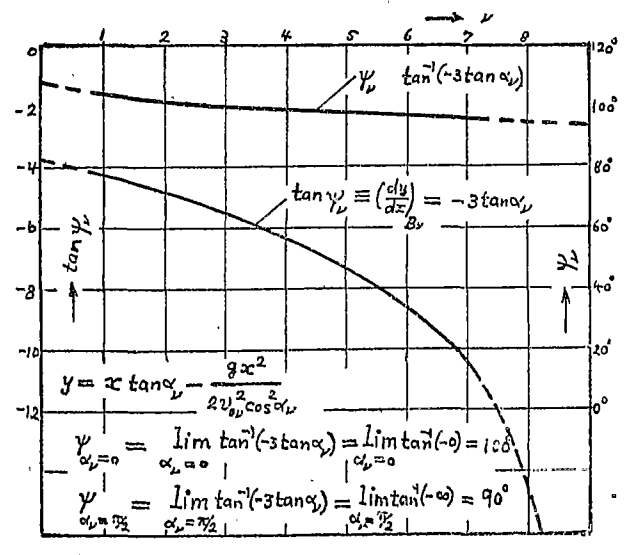


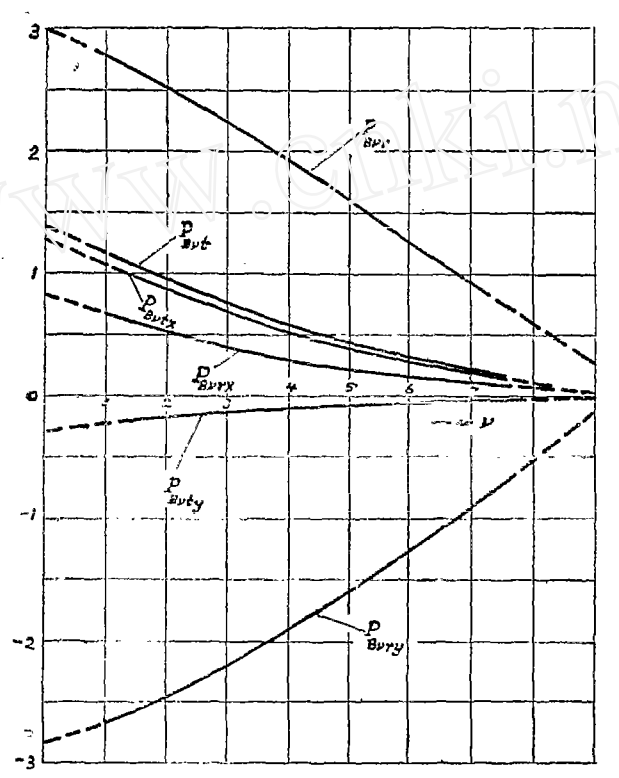
图 18. 在落岩点上翻球的絕对逃底的方向角

的位置, 尚須借助于两个关系:

$$\psi_{\alpha_{\nu}=0} = \lim_{\alpha_{\nu}=0}^{\infty} \tan^{-1}(-3 \tan \alpha_{\nu}) = \lim_{\alpha_{\nu}=0}^{\infty} \tan^{-1}(-0) = 180^{\circ} - \frac{1}{2}$$

$$\psi_{\alpha_{\nu}=\frac{\pi}{2}} = \lim_{\alpha_{\nu}=\frac{\pi}{2}}^{\infty} \tan^{-1}(-\infty) = 90^{\circ} + .$$
(115)

再用公式(85)至(90)进行运算,可得表 9 及图 19. 在这些曲綫中,所有的曲綫均只有单調的变化。



$$P_{Bvr} = \frac{G_v}{g} \frac{|\tilde{v}_{Bv}| - \omega R_v \sin S_v}{t_{ov}} \qquad P_{Bvt} = \frac{G_v}{g} \frac{\omega R_v \cos \delta_v}{t_{ov}} \qquad \psi_v = \tan^{-1} \left(\frac{dy}{dx}\right)_{Bv}$$
 图 19. 谷层網球碰撞力向量的絕对值及共所属物向分量

表 9 落下獅球的碰撞力向量

ν (吨)	1	2	3	4	5	б	7
$P_{Bvr}$	2.76	2,54	2.20	1.94	1.59	1.25	0.93
$P_{Bv_{fX}}$	0.637	0.515	û.392	0.301	0.214	0.144	0.089
$F_{B  u r \mathcal{Y}}$	-2.69	-2.49	-2.15	-1.91	-1.62	-1.24	-0.93
$P_{\mathcal{D}v_{\mathcal{E}}}$	1.119	0.935	0.731	0.572	0.416	0.278	0.174
$p_{Bvtx}$	1.090	0.916	0.714	0.563	0.412	0.276	0.174
$P_{Evty}$	-0.258	-0.190	-0.130	-0.089	-0.056	-0.032	-0.017

### (10) 相对靜止裝載部分的重力及其离心力向量

再用公式 (93),(93a),(94),(95),(96)及(96a)进行运算,則得表 10 及图 20,其中曾 拟設鋼的比重  $\gamma_s=7.86$ , 物料的比重  $\gamma_s=1.9$ ; 这样得平均比重

$$\gamma_m = \gamma_* + \frac{\pi}{6} (\gamma_e - \gamma_*) = 1.9 + \frac{\pi}{6} (7.86 - 1.9) = 5.02.$$

· v	) 1	2	3	4	5	6	7
0, 角度 弧度	142.0 2.470	134.6 2.346	128.6 2.235	122.2 2.126	115.7 2.013	109.5 1.906	103.5
ε, 角度 弧度	35.5 0.618	33.9 0.591	32.1 0.559	30.6 0.533	28.9 0.503	27.4 0.477	25.9 0.451
ρν 公尺	0.660	0.652	0.638	0.626	0.613	0.599	0.580
fo 公尺 <sup>2</sup>	0.161	0.290	0.397	0.478	0.538	△ 0.578	0.602
$G_{\nu y}$ $\pi$	-4.84	-8.72	-11,95	-14.38	-16.20	-17.40	-18.12

表 10. 图 20 的 数字

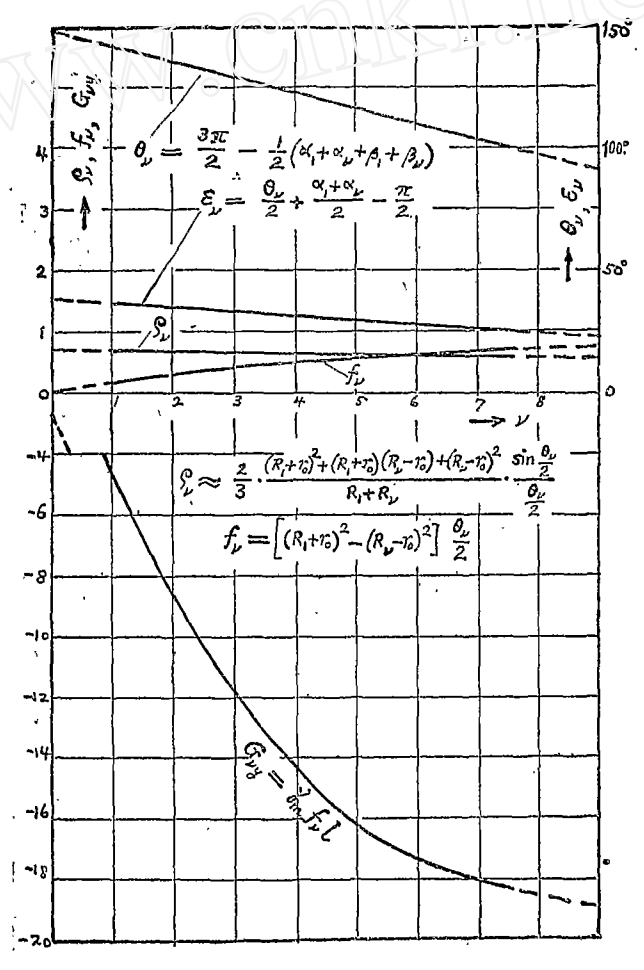


图 20. 和对部止装城部分的瓜心向徑及共方位与瓜丘

在这些曲綫中可以看出,重心半径及其方向角均变化甚微。

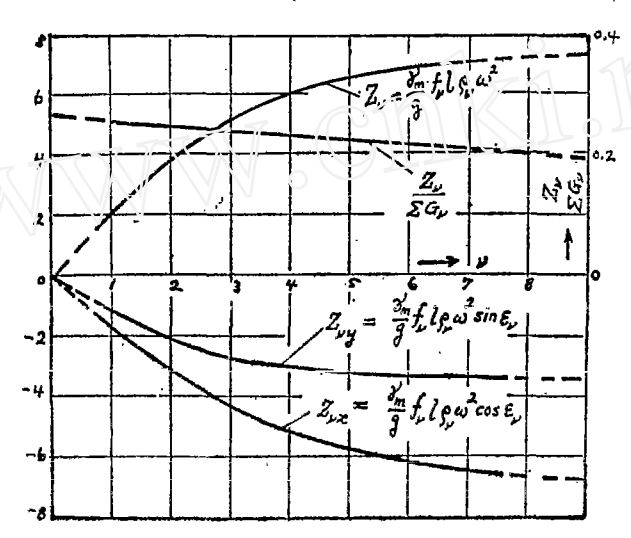
再用公式(95)与(97)运算,可得表 11 及图 21. 此处应請注意的关系是 |Z<sub>vy</sub>| < |Z<sub>vx</sub>|.

## (11) 通过鼓室中心的总軸向分力及軸头的弯曲应力

現在若把以上得出的有关数值代入公式 (98),即得通过鼓室中心的总轴向分力 (見表 12). 其中,因为在 x 方向的总轴向分量  $F_{vx} \approx 0$ ,(若視磨中鋼球的飞起及下落是內部运动,也能預先肯定  $F_{vx} = 0$ ,因为每个球把它自磨內壁的一侧所得到的冲量如数又交还

表 11. 图 21 的 数 等	表 11.	ক্র	21	的	쌄	#
------------------	-------	-----	----	---	---	---

ν	1	2	3	4	5	6	7
$Z_{yx}$ 吨	-1.75	-3.13	-4.33	-5.22	-5.83	-6.21	-6.42
Z <sub>vy</sub> 吨	-1.24	-2.13	-2.72	-3,08	-3.22	-3.22	-3.12
$Z_{\nu}$ 吨	2.14	3.82	5.12	6.05	6.66	6.99	7.13
$Z_{ u}/\Sigma G_{ u}$	0.253	0.246	0.239	0.232	0.223	0.214	0.205



υ	I	2	3	4	5	6	7
Obv 公斤/公分 <sup>2</sup>	578	756	904	1018	1106	1166	1204
Fvy I吨	-24,08	-31.53	-37.63	-42,42	-46.06	-48.53	-50.09
$F_{ u x}$ mg	- 0.023	·- 0.028	- 0.066	- 0.092	- 0.070	- 0.030	+ 0.023

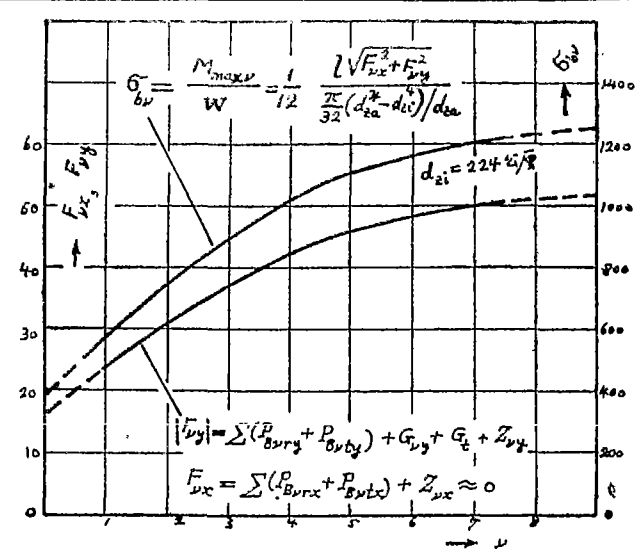


图 22. 軸向总分力及軸头的弯曲应力

。給廳內壁的另一側;  $F_{vx}$  是我們要推求  $\sigma_{vv}$  附带着得到的; 經过不算簡单的过程而能得出  $F_{\nu x} \approx 0$ ,这也就說明我們推算的步驟是正确的),所以只有在 $\nu$ 方向的总軸向分量  $F_{\nu y}$ 引 起可注意的弯曲应力。現在先只用軸头的內外直径 di = 224 公厘, da = 307 公厘代入公 式(108)中,就可以算出相应于装载层数轴头的弯曲应力来,这些数字也曾列入表12.

此外,因为負荷Fvy对于轴头的施力种类是波变换向負荷,所以为一般的机器制造炭 鋼的允許弯曲应力不可超过 900 公斤/公分?。 依照图 22,我們不可超过形成三层装載量 的鋼球与物料。为某厂的情况即約为21吨、因此,可以比以前增加25吨,即增产55%。

#### \*(12) 各层鋼球的碰撞力所引起的扭轉应力

在各层落着点上的轴向碰撞力及各层落着点至鼓室中心的坐标距均曾列于表 13 内.

表13. 图 23 的 数字

24 - NJ 24 3										
w w	1	2	3	4	5	6	7			
$x_{B\nu} = R_{\nu} \cos \beta_{\nu}$ 公尺	+0.238	+0.079	-0.053	-0.151	- 0.223	- 0.264	- 0.274			
$y_{Bv} = R_v \sin \beta_v$ 公尺	-0.828	-0.783	-0.708	-0.618	- 0.516	- 0.410	- 0.308			
$\Sigma(P_{Bvrx}+P_{Bvtx})$ of	1.727	3.158	4.264	5.128	5.760	6.180	6.443			
$\Sigma(P_{Bury} + P_{Buty})$ mt	-2.432	-5.112	<b>-7.</b> 392	-9.391	-11.067	-12,339	-13.281			
$\zeta_{v} = \frac{P_{Bvry} + P_{Bvty}}{G_{v}}$	0.288	0.379	0.392	0.418	0.446	0.450	0.462			
$\xi_{v} = \frac{\Sigma(P_{B\nu ry} + P_{B\nu ty})}{\Sigma G_{v}}$	0.288	0.329	0.346	0.359	0.370	0.377	0,382			

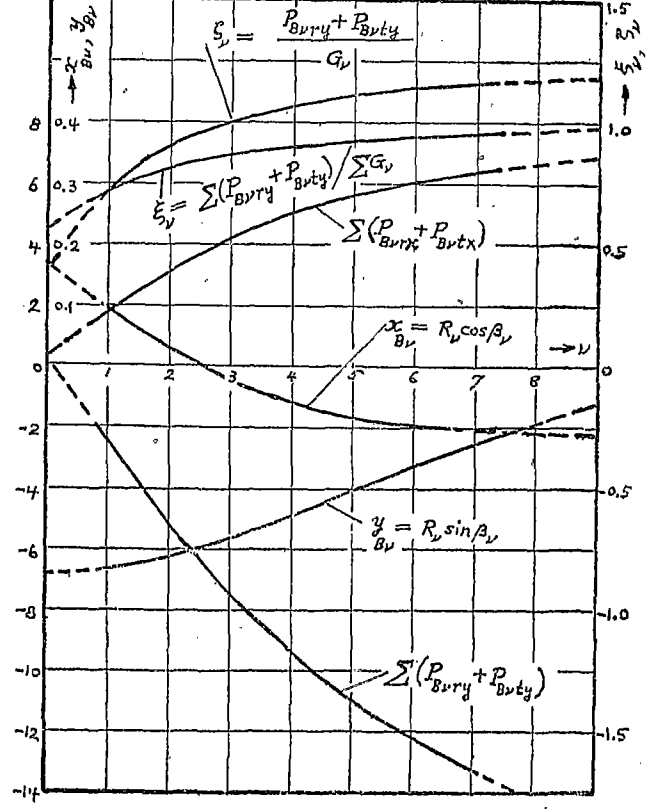


图 23. 碰撞力分量及其消力点的坐标距

以前就曾查明,在 \* 方向的碰撞力均为相应的离心力分量所对消,而只余在 \* 方向的碰撞力,因此,也可将此余剩分力与其相应的装载重量相比而写成

$$\xi_{\nu} = \frac{\sum (P_{B\nu ry} + P_{B\nu ty})}{\sum G_{\nu}},\tag{116}$$

而为各层則得

$$\zeta_{\nu} = \frac{P_{B\nu_{ry}} + P_{B\nu_{ty}}}{G_{\nu}}.$$
(117)

在設計时的大約估計中,自公式(116)得到的比例数字是很有用的. 此数大致等于35%.

再用公式 (101),(102) 及 (106) 运算,即得表 14 中的力薄短与相应的扭应力数字及图 24 中的曲綫。

r	1	2	3	4	5	6	7
M <sub>1ν</sub> 吨公尺	2.63	4.72	6.46	7.75	8.72	9.27	9.56
$M_{20}$ 吨公尺	0.861	1.761	2,666	3.051	4.199	4.706	<b>5.</b> 043
$M_{\nu}$ 吨公尺	3.491	6,481	9.126	11.251	12,919	13.976	14.603
τω 公斤/公分3	6.3	11.6	16.4	20.2	23,2	25.1	26.2

表 14. 扭力短与鼓室壳壁中的扭应力

自图 24 可以看出,相对静止装藏部分及碰撞力在鼓室壳壁中所唤起的扭成力是微不 足道的。

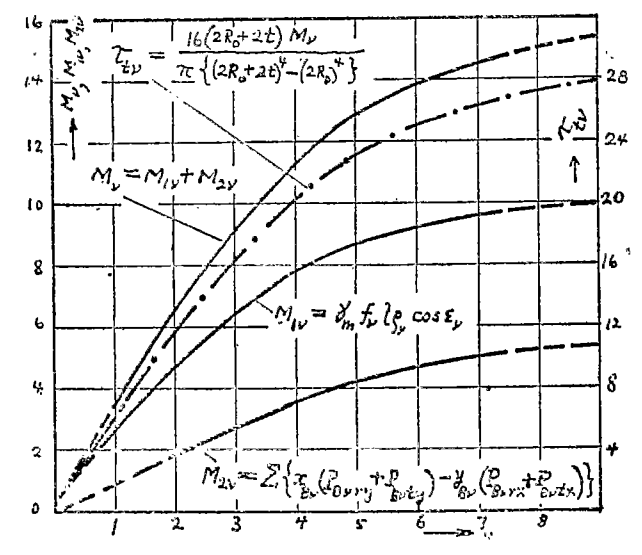


图 24. 却力矩与鼓室光壁中的扭应力

#### (13) 两軸头的外表面压应力

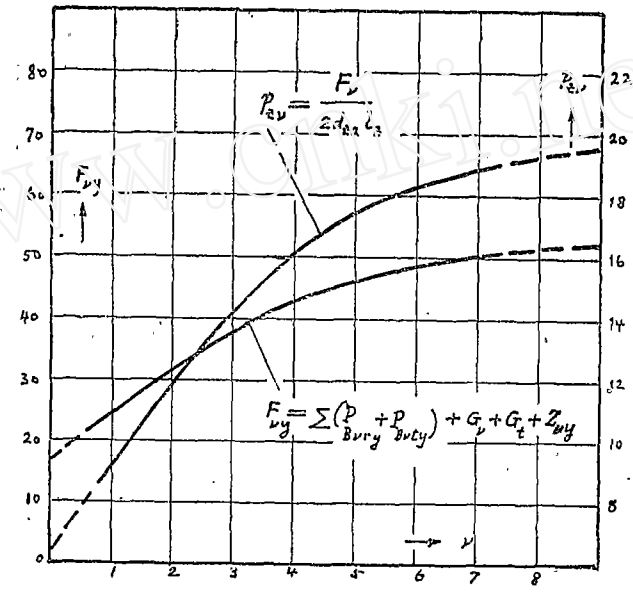
用公式(104)进行运算,即得表 15 及图 25.

检查轴头的外表面压应力,应当用公式

$$P_{*v}v \leq 15 \times 20 \frac{\text{N} \cdot \Gamma}{\text{N} \cdot \text{N}} \cdot \frac{\text{N} \cdot \Gamma}{\text{P}}, \tag{118}$$

v	1	2	3	4	5	6	7		
Fuy  1111	24.08	31.53	37.63	42.42	46.06	48.53	50.09		
$P_{\pi\nu} = \frac{ F_{\nu \mathcal{Y}} }{2d_{\pi}l_{\pi}}$ 公斤/公分 <sup>2</sup>	9,12	11.92	14.24	16.03	17.41	18.35	18.92		

表 15. 两軸头外表面压应力



其中,在本文所討論的情况

$$v=\frac{\pi n}{20}r_{sa}\approx 0.395\,\mathrm{GR}/\hbar,$$

rza 代表軸头的外半径. 因此,得允許轴头外表面压力

$$P_s \leq 38 \cong 50.6 \frac{公斤}{公分^2}$$
.

公式(118)是假定有相当满意的液体状态的轴承潤滑。若該厂能保証作到液体潤滑, 則表 15 的压应力是很可以允許的。

### (14) 通过軸头的直接传动所引起的各項应力

因为很多的球磨的传动是通过轴头,因此我們应趁此机会把这种結构所引起的应力情况加以检查。此处应当用公式(105),(108)及(109)进行运算,得出的結果列入表 16 内 并給于图 26 中。

自这些数字中可以看出,在直接传动中, 籼头中的扯应力仍然是微不足道的。

#### (15) 弯曲应力依据軸头內径的变化

在球磨的操作中,弯曲应力无疑問的是个最危险的因素。 这里我們附带为該厂作更进一步的研討,当籼头的內面径因装料壓損再变大时,籼头的弯曲应力将依什么規律改变。为此,用  $d_{si} = 224$ ; 230; 235; 240 公厘进行运算,則得表 17。

ν	1	2	3	4	5	б	7
$\Sigma G_ u$ መኒ	8,45	15.50	21.36	26.21	29.91	32.74	34.78
$\tau_{zv} = \frac{16 d_{za} M_v}{\pi (d_{za}^4 - d_{zi}^4)} \triangle \pi / \triangle \triangle^2$	84	156	219	270	311	336	351
$\sigma_{bv} = \frac{1}{12} \frac{l\sqrt{F_{vx}^2 + F_{vy}^2}}{\frac{\pi}{32} (d_{za}^4 - d_{zi}^4)/d_{za}} \propto f^2/2 c^2$	578	756	904	1018	1106	1166	1204
$\tau_{\max \nu} = \frac{1}{2} \sqrt{\sigma_{b\nu}^2 + 4\tau_{z\nu}^2}$	301	408	503	578	634	674	698

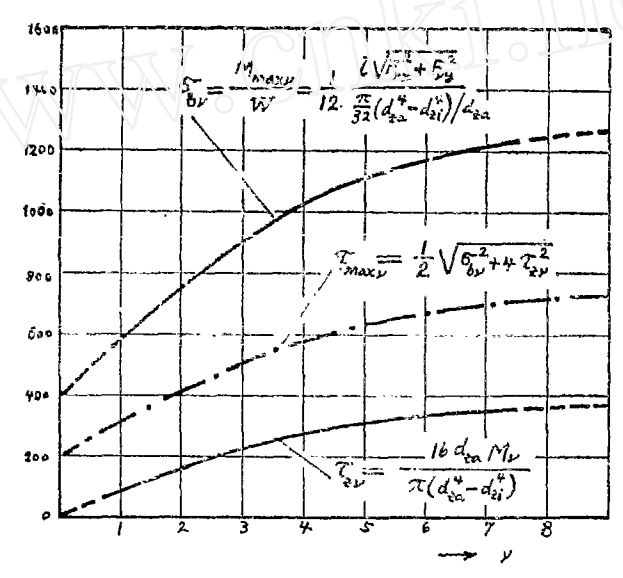


图 26. 直接传动在推动帕头所引起的应力

表17. 图27中的数字

ν		1	2	3	4	5	6	7
$\Sigma G_{ u}$ mit		8.46	15.54	21.36	26.15	29,90	32.74	34.78
N, 资馬力		105	190	256	307	343	367.	382
$ au_{zv}(d_{si}=224)$ 公斤/公分 $^2$		83.8	156	219	270	311	336	351
$\mathbf{\tau}_{\text{maxp}} = \frac{1}{2} \sqrt{\sigma_{bv}^2 + 4\tau_{xv}^2} (d_{xi} = 224) \%) \hat{\mathbf{r}} / \% \hat{\mathbf{v}}^2$		301	408	503	578	634	674	698
$d_{zi}$ :	=224	578	756	924	1018	1106	1166	1204
$1 \sqrt{E^2 + E^2} \qquad (3.5)$	=230	592	775	946	1042	1133	1193	1235
$\sigma_{bv} = \frac{1}{2} \frac{l\sqrt{F_{vx}^2 + F_{vy}^2}}{\frac{\pi}{32} (d_{za}^4 - d_{zi}^4)/d_{za}} \frac{(2k)7}{2k2^2} / \frac{d_{zi}}{d_{zi}}$	=235	61ď	806	983	1085	1180	1243	1285
32 ad sillard	=240	ช์สีซี	წ <del>4</del> 5	1031	1139	1238	1305	1350

此外,图 27 中亦有功率曲綫;但应請注意,其中未包括传动中的任何摩擦損耗功率. 为使应用便利,图 27 的橫坐标曾改用裝載重量,以吨計算.

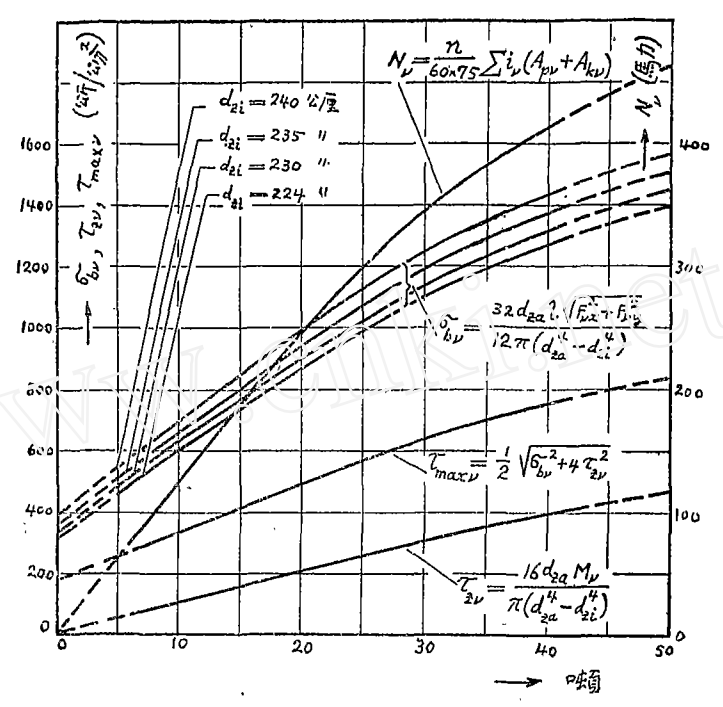


图 27. 舢头的弯曲应力及球磨的功率依据装置重量的改变

# 十二、結論

本文趁解决某厂在提高生产中迫切的球磨装料問題,曾扩大研究范围,把球磨的操作 原理作了較多的研討。本文这里导出的主要关系可以說是:

- (1) 核算球磨装敞因数的严格方程(49);
- (2) 核算球磨淨消耗功率方程(70a);
- (3) 推算在落着点处在运动方向的最大碰撞力方程(85);
- . (4) 推算在落着点处垂直于运动方向的最大碰撞力方程(86);
  - (5) 总力方程(99);
  - (6) 总力轉矩方程(103).

此外,尚有两个間接的重要的关系:

- (A) 在鼓室內抛物綫的长度方程(41);
- (B) 抛物綫的布占鋼球数目条件方程(46).

#### 参考文献

- [1] Н. П., Аксенов и П. Н., Аксенов, Оборудование литейных цехов, том первый, 1949.
- [2] 粉碎机械的主要指标附算(中央建筑材料工业管理局稀深料摘除, 面工业川版社出版)。
- [3] 工学硕士 IO. C. Лулье 老, 爾兴元器, 水泥工业中的粉碎与粉磨, 瓜工业出版社出版。
- [4] 工学硕士程·斯·森金斯基肼师塔,工学博士伏·恩·答克教授制师,中央重工业部股份司翻谬科,赵雜彭谬, 水泥工厂股計原理,重工业出版配出版。
- [5] 重工业部建筑材料工业管理局制,苏联建筑材料工业先进超融介相。
- [6] A. F. 卡陸特金器,大連工學院化工原理組研究生合譯,化工原理。

# BESTIMMUNG DES FÜLLUNGSKOEFFIZIENTEN FÜR DIE AB-SOLUTE MAXIMALE ZERMAHLUNGSPRODUKTIVITÄT UND DER KRÄFTENVERHÄLTNISSE BEIM BETRIEB DER KUGELMÜHLE

von Liu Hsien-chik

(Techn, Hochschule, Tsinan, Schanzung)

ÜBERSICH'T

Obgleich ich vermuten darf, dass sehr wahrscheinlich in verschiedenen Ländern zahlreiche Literatur über Kugelmühle bereits vorhanden sei, muss ich das Warten auf diese
mindestens in diesem Augenblick mir nicht zugängliche Literatur verzichten und selbst die
Untersuchung der Kugelmühle als eine kleine Forschungsarbeit aufnehmen, weil unsere
Industrie die Antwort der bereits im Titel ausgestellte Frage dringend erwartet.

Nach Aufstellung der Flugbahnlänge der Kugel innerhalb der Kugelmülde

$$S_{pp} = \frac{1}{2} \left\{ \sin \alpha_{p} \cos \alpha_{p} \left( 1 + 3\sqrt{1 + 8\sin^{2}\alpha_{p}} \right) + \cos^{3}\alpha_{p} \log_{e} \frac{3\sin \alpha_{p} + \sqrt{1 + 8\sin^{2}\alpha_{p}}}{1 - \sin \alpha_{p}} \right\} R_{p}$$
 (41)

wurde der Füllungskoeffizient für die absolute maximale Zermahlungsproduktivität der Kugelmühle abgeleitet:

$$\lambda = \frac{4r_0}{\pi R_0^2} \sum_{\nu=1}^{N} R_{\nu} (\pi - 2\alpha_{\nu} + 2\sin \alpha_{\nu} \cos \alpha_{\nu}), \tag{49}$$

wobei  $r_0$  der Halbmesser der Kugel,  $R_0$  der innere Halbmesser des Trommels,  $\alpha_{\nu}$  der jeweilige Ablösungswinkel der Kugel von der Kugelschichten und N die Anzahl der zulässigen Kugelschichten bedeuten.

Der Leistungsbedarf für den Antrieb der Kugelmühle ohne Berücksichtigung der Reibungsverluste gewinnt den folgenden Ausdruck

$$L = 4\pi \sum_{\nu=1}^{N} \frac{G_{\nu} R_{\nu} \sin^{2} \alpha_{\nu} \cos \alpha_{\nu} + \frac{\omega^{2}}{8g} G_{\nu} R_{\nu}^{2}}{\pi - 2\alpha_{\nu} + \sin 2\alpha_{\nu}},$$
 (70)

wobei  $G_{\nu}$  das im Beharrungszustand in jeweiliger Kugelschicht enthaltene Ladungsgewicht,  $\omega$  die Winkelgewindigkeit der Trommels und g die Erdbeschleunigung darstellen.

Zuletzt ist es vielleicht noch notwendig zu erwähnen, dass die im übrigen Teil der Arbeit bei der Untersuchung der Kräftenverhältnisse der Kugelmühle im Betrieb gewonnenen Resultate beim Entwurf der Kugelmühle nützlich sein mögen.